

Темы: Томсон и уравнение Шредингера  
для свободной частицы.

№ 1

Лекционное приложение

$$\hat{H}\Psi = E\Psi \quad \text{Стационарное уравнение Шредингера}$$

К ядерам и N электронов движутся в про-бле-  
модействующим по закону Кулона (как морковь запече-  
расстегаю)

$$\begin{aligned} \hat{H} &= \hat{T}_n + \hat{T}_e + \hat{V}_{hn} + \hat{V}_{ee} + \hat{V}_{en} = \\ &= - \sum_{\alpha=1}^k \frac{\hbar^2}{2M_\alpha} \nabla_\alpha^2 - \frac{\hbar^2}{2m} \sum_{i=1}^N \nabla_i^2 + \frac{1}{2} \sum_{\alpha \neq \beta}^k \frac{Z_\alpha Z_\beta e^2}{|R_\alpha - R_\beta|} + \frac{1}{2} \sum_{i+j}^N \frac{e^2}{|\mathbf{r}_i - \mathbf{r}_j|} - \\ &- \sum_{\alpha=1}^k \sum_{i=1}^N \frac{Z_\alpha e^2}{|R_\alpha - \mathbf{r}_i|} \end{aligned}$$

$\mathbf{r}_i$  и  $-\imath\hbar\nabla_i$  - радиус вектор и  
оператор импульса  $i = 1 \dots e^-$

$$e = 1 \text{ аэз} = 1,602 \cdot 10^{-19} \text{ кн}$$

$$m = 1 \text{ аэм} = 9,109 \cdot 10^{-31} \text{ кг}$$

$$\hbar = 1 \text{ аэг} = 1,055 \cdot 10^{-34} \text{ Джс}$$

Действие: интегрируем по времени от функции Лагран-  
жя  $L = T - V$   $S = \int_{t_1}^{t_2} L dt$   $\delta S = 0$

$$a_0 = 1 \text{ аэф} = 5,292 \cdot 10^{-11} \text{ м} = 1 \text{ фм}$$

$$c = 1 \text{ аэф} = 2,998 \cdot 10^{17} \text{ м/с}$$

$$E_0 = 1 \text{ аээ} = 4,360 \cdot 10^{-18} \text{ Дж} = 1 \text{ эВтоби}$$

$$\left\{ - \sum_{\alpha=1}^k \frac{1}{2M_\alpha} \nabla_\alpha^2 - \frac{1}{2} \sum_{i=1}^N \nabla_i^2 + \frac{1}{2} \sum_{\alpha \neq \beta}^k \frac{Z_\alpha Z_\beta}{|R_\alpha - R_\beta|} + \frac{1}{2} \sum_{i+j}^N \frac{1}{|\mathbf{r}_i - \mathbf{r}_j|} - \sum_{\alpha=1}^k \sum_{i=1}^N \frac{Z_\alpha}{|R_\alpha - \mathbf{r}_i|} \right\} \Psi = E\Psi$$

$\Psi(R; r)$  зависит от переменных всех ядер и электронов  
R - непр. ядер  
r - непр. e<sup>-</sup>

Решить уравнение наимее  $\Psi$  зависеть от всех  
переменных невозможно

Вывод: Рядом с переменными !!!

$\boxed{\frac{m_p}{m_e} = 1836}$  Условие существование:  $m_p \approx m_e$ , но в.сущ  
единого центра:  $T_n \ll T_e$

т.е. можно преобразовать обычное уравнение

т.о. для ядеру:  $T_n \ll \delta E \Rightarrow \tilde{T}_n \gg \tilde{\epsilon}_e$

т.е. при больших  $\tilde{\epsilon}_e$  ядерный упругим существо изменение его состояния, а ядра нет

Второе пренебрежение можно выделить в квадр. равнени  $\frac{1}{m} u \frac{1}{M}$ , при этом  $\frac{1}{m} \gg \frac{1}{M}$  и  $u \sum_{\alpha=1}^k \frac{1}{2M_\alpha} \Delta_\alpha^2$  можно пренебр

$$\boxed{\hat{H}_e = \hat{H} - \tilde{T}_n = \hat{T}_e + \hat{V}_{nn} + \hat{V}_{ee} + \hat{V}_{en}}$$

электронный гамма-тональ

$$\Psi(R; r) = \underbrace{\Phi_e(r|R)}_{\text{норм. ф-ла}} \underbrace{y_n(R)}_{\text{нормировка}}$$

эл. ф-ла

$$\left\{ -\frac{1}{2} \sum_{i=1}^N \Delta_i^2 + \frac{1}{2} \sum_{\alpha \neq \beta}^k \frac{Z_\alpha Z_\beta}{R_{\alpha\beta}} + \frac{1}{2} \sum_{i+j}^N \frac{1}{r_{ij}} - \sum_{\alpha=1}^k \sum_{i=1}^N \frac{Z_\alpha}{R_{\alpha i}} \right\} \Phi_e(r|R) \cdot y_n(R) = E_e(R) \cdot \Phi_e(r|R) \cdot y_n(R)$$

$$\boxed{\hat{H}_e \Phi_e(r|R) = E_e(R) \Phi_e(r|R)}$$

электронное уравнение

$E_e(R)$  - эл. пот. терм. нестабильн

$$(\hat{H}_e + \tilde{T}_n) \cdot \Phi_e(r|R) \cdot y_n(R) \cdot \Phi_e^*(r|R) = E \cdot \Phi_e^*(r|R) \cdot \Phi_e(r|R) \cdot y_n(R)$$
$$\langle \Phi_e(r|R) | (\hat{H}_e + \tilde{T}_n) | \Phi_e(r|R) y_n(R) \rangle_r = \langle \Phi_e | E | \Phi_e y_n(R) \rangle_r$$
$$\langle \Phi_e | \hat{H}_e | \Phi_e \rangle_r y_n(R) + \langle \Phi_e | \tilde{T}_n | \Phi_e y_n(R) \rangle_r = F y_n(R)$$

заб. тонк. от д. неп.

уч. нормировани

$\langle \Phi_e | \Phi_e \rangle = 1$ .

$$T.O. \quad E_e(R) y_n(R) + \langle \Phi_e | \tilde{T}_n | \Phi_e y_n(R) \rangle_r = E y_n(R)$$
$$\langle \Phi_e | - \sum_{\alpha=1}^k \frac{1}{2M_\alpha} \Delta_\alpha^2 | \Phi_e y_n(R) \rangle_r = \langle \Phi_e | \Phi_e \rangle_r T_n y_n(R) + y_n(R) \langle \Phi_e | \tilde{T}_n | \Phi_e \rangle_r$$
$$- \sum_{\alpha=1}^k \frac{1}{M_\alpha} \langle \Phi_e | \Delta_\alpha \Phi_e \rangle_r \Delta_\alpha y_n(R)$$

д. н.к.  $\Delta_\alpha \langle \Phi_e | \Phi_e \rangle_r = 0 = 2 \langle \Phi_e | \Delta_\alpha \Phi_e \rangle_r$

$$\boxed{(T_n + E_e(R) + \langle \Phi_e | \tilde{T}_n | \Phi_e \rangle_r) y_n(R) = E y_n(R)}$$

ядерное уравнение  
атомар. потенциал приблизит. при

Итак говорят  $\langle \Phi_e | \tilde{T}_n | \Phi_e \rangle_r$  если зависит от ядерных координат, им можно преобразовать

$$\boxed{(T_n + E_e(R)) y_n(R) = E y_n(R)}$$

$\hat{H}_n = \hat{T}_n + E_e(R)$  ядерный гамма-тональ

а  $E_e(R)$  - атомар. потенциал

т.е. потенциал, в котором обычные ядра находятся в состоянии покоя. но все ядра находятся

N2

Электронное волновое уравнение. Ассиметричность электронной волновой функции относительно перестановок индексов  $e^-$ . Электронная плотность

- Искать волновую функцию  $N$ -е частицы, зависящую от  $n$  переменных - перестановки задача

Одноэлектронное приближение: допускает существование индивидуальных состояний каждого  $e^-$ , которые практически являются их стационарными состояниями в поле всех  $e^-$  и др. Эти состояния описываются одноэлектронами.  $\psi$  - спин-орбитальная функция -  $\psi(r; \tau)$ . Тогда

$$\Phi_e(1, 2, \dots, n) = \psi_1(1) \psi_2(2) \dots \psi_n(n) \quad \psi(i) = \psi(r_i; \tau_i)$$

электронное волновое уравнение

- если в рег-те движущихся  $e^-$  инициируют перестановку, то Причины тождественности в системе состояний из  $N$  частиц. частичные возможные такие состояния, которые не меняются при перестановке 2 частиц. Перестановка  $\hat{P}_{ij}$  - напр. аргумента в волн. функции  $\hat{P}_{ij} \Psi(1, 2, \dots, i, \dots, j, \dots, N) = \Psi(1, 2, \dots, j, \dots, i, \dots, N)$

- любую перестановку произвольного числа частиц можно всегда представить последовательностью парных пер. (транспозиций)

Всякая перестановка любая числа тождеств. частичек не меняет состояние системы, т.е. оператор перест. коммутирует с ли. аннихилиатором  $[\hat{H}_e; \hat{P}] = 0$

Электронные волновые функции  $\Psi$  обладают свойством, что операторы

$$\hat{P}_{ij} \Psi(1, 2, \dots, n) = \lambda \Psi(1, 2, \dots, n)$$

$$\hat{P}_{ij}^2 \Psi(1, 2, \dots, n) = \Psi(1, 2, \dots, n)$$

$$\lambda^2 = 1 \quad \lambda = \pm 1$$

Гильзин Гаун (антисимметрическ.)

Волновые функции систем частиц с полумческими спинами (спинонов, в гипотезе  $e^-$ ) антисимметрична относительно любых парных перестановок, т.е.  $\lambda = -1$

Две бозонов (нейтральный спин)  $\lambda = 1$

Нейтральность частиц транспозиций - четность перестановки -  $\hat{P} \Psi_e = (-1)^P \Psi_e$

Действующий оператор  $\sum_P (-1)^P \hat{P}$  (суммирование по всем перестановкам -  $n!$ )

Действительно, если подействовать таким оператором на  $\hat{P}\Phi_e = (-1)^P \Phi_e$ , то

$$\sum_p (-1)^p P \Phi_e = \sum_p (-1)^p (-1)^P \Phi_e = \sum_p \Phi_e = N! \Phi_e$$

получим саму функцию в квадр. равенстве между первыми при действии такого оператора пр. не меняется

$$A = \frac{1}{N!} \sum_p (-1)^p \hat{P} - \text{антисимметричность}$$

Действуем на эт. функцию  $\Rightarrow$  мин. комбинации вида

$$\psi_{k_1}(1) \psi_{k_2}(2) \dots \psi_{k_N}(N)$$

$k_1, k_2, \dots, k_N$  меняются от 1 до  $N$

- Матрица записывается в виде определителя:

$$\frac{1}{N!} \begin{vmatrix} \psi_1(1) & \psi_1(2) & \dots & \psi_1(N) \\ \psi_2(1) & \psi_2(2) & \dots & \psi_2(N) \\ \vdots & \vdots & \ddots & \vdots \\ \psi_N(1) & \psi_N(2) & \dots & \psi_N(N) \end{vmatrix} \quad N\text{-мера } e^-$$

Однозн. функции должны описывать индивидуальные состояния  $e^-$ , т.е.  $\delta/\delta$  взаимно ортогональные можно их всегда нормировать на 1  $\Rightarrow$  ортонормированный набор. Нормированные функции  $N$ -эт. систем имеет вид:

$$\Phi_e = \frac{1}{\sqrt{N!}} \begin{vmatrix} \psi_1(1) & \psi_1(2) & \dots & \psi_1(N) \\ \psi_2(1) & \psi_2(2) & \dots & \psi_2(N) \\ \vdots & \vdots & \ddots & \vdots \\ \psi_N(1) & \psi_N(2) & \dots & \psi_N(N) \end{vmatrix} \quad \text{определ. Снейтера}$$

Уже не предполагается независимые состояния  $e^-$ , между скажем какой  $e^-$  в каком состоянии

Строка определителя состоящая из функций одного элекр. состояния  $\psi_k$ , в которой может находиться каждый  $e^-$ . Столбец записей все возможные состояния любого  $e^-$   
2  $e^-$  не могут в 1 состоянии  $\Rightarrow$  совпадение 2 столбцов  
 $\Rightarrow \det = 0$ . Такие неоднозначности в  $\Phi_e$   $\psi_i(r, \tau)$  и  $\psi_j(r, \tau)$  отмечались

- Электронная плотность

квадрат электронной волевой функции системы характеризует  $e^-$  в вероятности одновременной локализации каждого конфигур. м.бр., но  $e^-$  неразличим  $\Rightarrow$  разумное исп-ть функции плотности вероятности локализации любого  $e^-$  в окр. точки  $r_1$  независимо от стоян. состояния

Это означает интегрирование квадрата электронной волевой функции по переменным всех остальных  $e^-$  и по

$$\rho(r) = N \int \dots \int |\Phi_e(\psi_1(r_1), \psi_2(r_2), \dots, \psi_N(r_N))|^2 dr_1 dr_2 \dots dr_N$$

$\rho(r)$  - электр. плотность

Если эл. функции записана в виде суммы квадратов простр. орбита-

лей:  $\rho(r) = \sum_{m=1}^{\infty} |\psi_m|^2$

Если интегрировать  $\rho$  по всему пространству  $\Rightarrow$  полное

число  $e^-$  в макроскопии:  $\int \rho(r) dr = N$ .

**N3** Тригонометрические методы решения волнового приближение. Ограничение Карти-Фока.

уравнений. Одноэлектронное и неоднородное

метод взаимодействия.

### • Метод волновых функций (Вс)

Оператор Тамм-Дорниана имеет вид:  $\hat{H} = -\frac{\hbar^2}{2m} \sum_i \nabla_i^2 + \hat{V}_{nn} + \hat{V}_{ne} + \hat{V}_{ee}$

Из волновых функций атомов составляют волн. функцию макроскопии:  $\Psi_1 = \varphi_A(1) \cdot \varphi_B(2)$   $\Psi_2 = \varphi_A(2) \varphi_B(1)$

Линейные комбинации  $\Psi_1$  и  $\Psi_2$  используются в качестве пробной функции  $\Psi = \Psi_1 c_1 + \Psi_2 c_2 = c_1 \varphi_A(1) \cdot \varphi_B(2) + c_2 \varphi_A(2) \cdot \varphi_B(1)$

Используется метод Амальди для вычисления энергии макроскопии и когд.  $c_1$  и  $c_2$

$$\sum_{j=1}^n c_j (H_{ij} - E \delta_{ij}) = 0$$

Затем находим окончательный вид волн. ф.

### • Метод макроарбитрических орбиталей (МО)

В методе Вс волн. ф. макроарб. строятся исходя из колебаний в. ф., образующих макроарб. атомов, то в методе МО наилучшими в. ф. макроарб. состоят из функций, описывающих новейшие отдельности  $e^-$  в виде суперпозиции оставшихся  $e^-$  и всеми единими.

М.О. представляет собой одиночекоронную функцию, которая включает простр. и спиновую компоненты - спин-орбиталь:

$$\Psi(\vec{r}_1, \vec{r}_2) = \varphi(\vec{r}_1) \chi^2(\vec{r}_2)$$

Каждая МО характеризуется своим знач.  $E$ ; все  $e^-$  макроарб. распологаются попарно (одной простр. функции отвечают 2 спиновые ( $\chi_1(+z) = d(z)$ ;  $\chi_1(-z) = p(z)$ ) на МО, заменяющие их в порядке  $\uparrow E$ ).

Гамма волновая функция содержит  $\alpha n e^-$  на н. попарно заполняющие МО; определяется дет. спектра

Гамма первичная  $\hat{H} = -\frac{\hbar^2}{2m} \sum_{i=1}^{\infty} \nabla_i^2 + \hat{V}_{nn} + \hat{V}_{ne} + \hat{V}_{ee}$

## • Метод Сарфи - Фока

Электронная энергия имеет вид:

$$E_e = \sum_{i=1}^N \langle \psi_i | h | \psi_i \rangle + \frac{1}{2} \sum_{i \neq j} (\langle \psi_i | \psi_j \rangle - \langle \psi_i | \psi_j | \psi_j | \psi_i \rangle)$$

Таким образом, координатах  $\vec{r}$  для электр. энергии - это, с одной стороны, конф. потенц. настрой однозначно. функционал.

- Функционал - любое отображение, ставящее в соотв. заданной функции  $f(x)$  и некоторой величине  $\lambda[f(x)]$
- множество функций, на которых определен функционал

Электронная энергия - функционал от  $N$  функций

$$E_e [\psi_1, \psi_2, \dots, \psi_N]$$

Решение - электр. уравнение состоит в поиске таких функций  $\{\psi_1, \psi_2, \dots, \psi_N\}$ , при которых получается минимум

$E_e$  достигает минимального значения (согласно вариан. кр.)  
т.е. для варьируемых функций  $\psi_1, \dots, \psi_N$  есть чисто линейный функционал  $E_e$ .

Вариации (приращение функции)  $\delta f = f(x) - f_0(x)$

- Вариации функционала  $\lambda[f(x)]$  на функцию  $f(x)$  изучается по  $\delta f(x)$  приращение по этой функции

Для варьирования варианты функционала даёт бесконечно малое приращение  $\delta f$  функции  $f(x)$  и варьирует соответственно приращение функционала; различие в ряд Тейлора и оставшееся только чистое по  $\delta f$  член.

$$\delta E_e = E_e [\psi_1 + \delta \psi_1, \psi_2 + \delta \psi_2, \dots, \psi_N + \delta \psi_N] - E_e [\psi_1, \dots, \psi_N]$$

$$E_e + \delta E_e = \sum_{i=1}^N \langle \psi_i + \delta \psi_i | h | \psi_i + \delta \psi_i \rangle + \frac{1}{2} \sum_{i \neq j} \left( \langle \psi_i + \delta \psi_i | \psi_j + \delta \psi_j | \psi_i + \delta \psi_i \rangle + \langle \psi_i + \delta \psi_i | \psi_j + \delta \psi_j | \psi_j + \delta \psi_j \rangle - \langle \psi_i + \delta \psi_i | \psi_j + \delta \psi_j | \psi_i + \delta \psi_i \rangle \right)$$

$$\delta E_e = \sum_{i=1}^N \left( \langle \psi_i | h | \delta \psi_i \rangle + \langle \delta \psi_i | h | \psi_i \rangle \right) + \frac{1}{2} \sum_{i \neq j} \begin{cases} \langle \delta \psi_i | \psi_j | \psi_i \rangle + \langle \psi_i | \delta \psi_j | \psi_i \rangle \\ + \langle \psi_i | \psi_j | \delta \psi_i \rangle + \langle \psi_i | \psi_j | \psi_i \rangle \\ - \langle \delta \psi_i | \psi_j | \psi_i \rangle - \langle \psi_i | \delta \psi_j | \psi_i \rangle \\ - \langle \psi_i | \psi_j | \delta \psi_i \rangle - \langle \psi_i | \psi_j | \psi_i \rangle \end{cases}$$

! Такие варьированием функционала считаются орбитами движущимся оставлять её ортогоизированными  $\langle \psi_i | \psi_j \rangle = \delta_{ij}$   
Доп. условие  $I = E_e - \sum_{i \neq j} \epsilon_{ij} (\langle \psi_i | \psi_j \rangle - \delta_{ij})$   $\epsilon_{ij}$  - неотр. члены падающих

Экстремум так определенного функционала изучается - "подходящий" условием, а условие из гамильтонии  $\epsilon_{ij}$  - настройка

N3 Необходимое условие экстремума функционала - равнение нуля его вариации. Задача определения оптимального набора  $\{\psi_1 \dots \psi_n\}$  эквивалентна задаче

$$\delta I [\psi_1 \dots \psi_n] = 0$$

$$\delta I = \delta E_e - \sum_{i \neq j}^n \epsilon_{ij} (\langle \psi_i | \delta \psi_j \rangle + \langle \delta \psi_i | \psi_j \rangle) = 0$$

Варианты функций и ее комплексно-сопряженные независимые

$$\delta \psi_j = S f_j + i \delta g_j$$

$$\delta \psi_j^* = S f_j - i \delta g_j$$

Барниаки  
бесц. гаеч.      имеш. гаеч.

уравнение

$$g_{ij} \equiv \langle \psi_i | \psi_j \rangle = \langle \psi_j | \psi_i \rangle \equiv g_{ji}$$

$$k_{ij} \equiv \langle \psi_i | \psi_j \rangle = \langle \psi_j | \psi_i \rangle = k_{ji}$$

↓ когд. при вариации  $\delta \psi_i^*$

$$c_i^* = h \psi_i(1) + \frac{1}{2} \sum_{j=1}^n \left( 2 \int \frac{\psi_j^*(2) \psi_i(2)}{\gamma_{12}} \psi_j(1) d_2 - 2 \int \frac{\psi_j^*(2) \psi_j(1) \psi_i(2)}{\gamma_{12}} d_2 \right)$$

$$= \sum_{j=1}^n \epsilon_{ij} \psi_j(1)$$

коэффициент при  $\delta \psi_i = c_i$

Условие экстремума:  $\delta I = \int \sum_{i=1}^n (c_i^* \delta \psi_i^*(1) + c_i \delta \psi_i(1)) d_1 = 0$

По основной лемме вариаций. исчисление в сумме приводит

вариации  $\delta \psi$   $\int f \delta \psi d\tau = 0$  если  $f=0$

$$\text{знач} c_i = 0 \quad c_i^* = 0 \quad \forall i$$

$$\hat{h} \psi_i(1) + \sum_{j=1}^n \left( \int \frac{\psi_j^*(2) \psi_i(1) \psi_j(2)}{\gamma_{12}} d_2 - \int \frac{\psi_j^*(2) \psi_j(1) \psi_i(2)}{\gamma_{12}} d_2 \right) = \sum_{j=1}^n \epsilon_{ij} \psi_j(1)$$

$$\int \frac{\psi_j^*(2) \psi_i(1) \psi_j(2)}{\gamma_{12}} d_2 = g_{ij} \psi_i(1) \quad \int \frac{\psi_j^*(2) \psi_j(1) \psi_i(2)}{\gamma_{12}} d_2 = k_{ij} \psi_i(1)$$

$\hat{g}_j$  - кулоновский оператор (нук. вз-е 2 e<sup>-</sup> областей)

$\hat{k}_j$  - общепотенциальный оператор (отрак. сильнодействующий подсистемы блокадой движущимися e<sup>-</sup>)

$$\downarrow \boxed{\hat{h} + \sum_{j=1}^n (\hat{g}_j - \hat{k}_j) \{ \psi_i = \sum_{j=1}^n \epsilon_{ij} \psi_j \}}$$

сроками (оператор Рока)

$$\hat{h} = -\frac{1}{2} \nabla_i^2 - \sum_{j=1}^K \frac{Z_j}{R_{di}}$$

Уравнение Харти-Рока

- Ограниченный Х-Ф RHF  
 в ряде случаев, когда наименее в синглетном состоянии, (т.е. нет нескр.  $e^-$ ) синг-е $\downarrow$  приближение, при котором пара  $e^-$  описывается одной и той же функцией, при которой всегда синг. пары функций:

$$\hat{F} = \hat{h} + \sum_{j=1}^{n/2} (\hat{\gamma}_j - \hat{k}_j)$$

$n/2$  - число орбиталий

$$\Psi_{ij} = \varphi_{i\downarrow} \quad \Psi_{j2} = \varphi_{j\downarrow}$$

$$\begin{array}{c} \uparrow \\ \uparrow \\ \uparrow \\ \uparrow \end{array} \quad \begin{array}{c} \uparrow \\ \uparrow \\ \uparrow \\ \uparrow \end{array}$$

- изограниченный Х-Ф UHF  
 MO имеют вид:  $\psi_i = \varphi_{i1}\alpha + \varphi_{i2}\beta$   
 каждая MO описывает одноз. спарованное состояние

$$\hat{F} = \hat{h} + \sum_{j=1}^{n/2} (\hat{\gamma}_j - \hat{k}_j)$$

спин-орбитали

$$\Psi_i = \varphi_{i\downarrow} \quad \Psi_j = \varphi_{j\uparrow}$$

$$\begin{array}{c} + \\ + \\ + \\ + \end{array} \quad \begin{array}{c} + \\ + \\ + \\ + \end{array}$$

- метод MO ЛКАО  
 MO представлением состояний кван. комбинации AO

$$x_i = \sum_{g=1}^M v_g c_{gi}$$

$$\text{Уп. Х-Ф: } \hat{h} x_i(z) + \sum_{j=1}^N \left( \int \frac{\psi_j^*(z) \psi_i(z) \psi_j(z)}{\epsilon_{12}} dz - \int \frac{\psi_j^*(z) \psi_j(z) \psi_i(z)}{\epsilon_{j2}} dz \right)$$

$$\Downarrow \sum_{g=1}^M (H_{pg} + C_{pg}) c_{gi} = \sum_{g=1}^M S_{pg} c_{gi} \epsilon_i$$

матричные  $\Rightarrow$  матричной

форма  $\Rightarrow$  форма:

$$\boxed{FC = SC \epsilon}$$

Размерность формул  $M \times M$  ( $M$  - число AO)  
 $S$  - матрица шарфиков пересечения  $M \times M$   
 $C$  - матрица когр. расположения  $M \times N$  (число  $e^- - N$ )  
 $\epsilon$  - диагон. матрица орбит. энергий  $N \times N$

**№4** Гаусс-иерархические методы решения электрических уравнений: приближение нулевого дифференциального, метод Хюккеля

### • ПДП

Уменьшение числа интервалов  
Если 2 ядра находятся на  $\rightarrow$  расстоянии, а центрирование на них фундаментально достаточное покрыванием, то их перекрывают полностью  $\chi_A(r) \chi_B(r) = 0$

Используют в случае АО, центрирован на рядах независимо от  $r$  и у них

Если эти же и / перекрывают любые интервалы вида  
 $\langle \chi_A \chi_C | \chi_B \chi_D \rangle$ , если он включает произведение фундаментальных функций одной частицы  $\Rightarrow$  остается только накопление интервалов  $\langle \chi_A \chi_B | \chi_A \chi_B \rangle$  отвечающие отталкиванию  $e^-$ , описываемых каждую своей функцией.

Пример: ППДП (независимо от ядра, центрирован на рядах и не на одном)

$$\text{ЧПДП} \quad M\bar{N}BO / 1 (2; 3) \\ M\bar{N}BO \\ \sim DDO$$

### • Метод Хюккеля

Непр. сопр. УВД - можно разделить на 2 задачи о  $S$  и  $T$  электр. подсистемах. Основание - такое строение сопр. УВД, т.е. тождественные группы симметрии не имеют CS. Если 2 непривод. однотипных предметы: симметричные и антисимметричные относит. инносити:

C	E	Th
A'	1	1
A''	1	-1

Баз. обозначки - вспомогательные симметрии  $s, p_x$  и  $p_y$  не изменяются при отражении  $p_z$  меняет знак

Интервал произведения (перекрывания)  $= 0$

$$\langle \chi_{A'} | \chi_{A''} \rangle = 0$$

$$\langle \chi_{A'} | \hat{n} | \chi_{A''} \rangle = 0 \text{ с. б. ядра}$$

Т.е. если перебираются  $s, p_x$  и  $p_y$ , фундаментальные, затем  $p_z = \overline{s, p_x \text{ и } p_y}$  типа, так что матрица первого блокинга будет иметь блокинга вид.

$$\left( \begin{array}{ccc|c} s & p_x & p_y & p_z \\ \hline \hline \hline \hline \hline \end{array} \right)$$

$\Rightarrow \text{HC} = SC_E$  делится на 2 независимые подсистемы

расщепл. задачу Т-систем

Хюккель предположил, что в электронном гамильтониане, можно заменить сумму первых взаимодействий  $e^-$  суммой эффективных потенциалов, каждый из которых представляет среднее поле всех оставшихся  $e^-$ , действующее на данный

$$\sum_{i < j} \frac{1}{r_{ij}} \approx \sum V(i)$$

$$H_e = \sum_{i=1}^n \left( -\frac{1}{2} \nabla_i^2 + V(i) - \sum_{d=1}^k \frac{z_d}{R_{di}} \right) = \sum_{i=1}^n \tilde{h}(i)$$

сумма ~ одноэ. членов

а т.н. вакуум. функция - процеф. одноэ. фн.

$$\Psi = \prod_{i=1}^n \psi_i$$

Дано линейное уравнение; решаем  $\hat{h} \Psi_k = E_k \Psi_k$   
находим  $\Psi_k$  - линей. орбита, описывающее состояние  $e^-$ -системы, число которых равно числу  $C$  и членов в супр. системе. Таким образом рассматривается на 1 электрону на каждом атоме линейка  $\Rightarrow \min$  базис

$$\Psi_k = \sum_{j=1}^C c_{kj} \chi_j \quad k - \text{число ат. скелета}$$

$\chi_j = \phi_z(j)$

II  
Типичная вариационная задача построена  $k \times k$ ,  
причем матрица первая.  $S = 1$ , а элемнты и параметры определяются:

$$H_{ii} = \langle \chi_i | \hat{h} | \chi_i \rangle = d_i$$

$$H_{ij} = \langle \chi_i | \hat{h} | \chi_j \rangle = \begin{cases} \beta_{ij}, & ij \text{ соседние} \\ \delta_{ij}, & через один \\ \gamma_{ij}, & через 2 \end{cases}$$

Числовые данные: элемнты  $H$  определены приием одиночных атомов и расположены на орт. единиц. базисах атомов и однотипных группах атомов. напр. атомов  $C$  и  $Si$ .  
 $\delta_{ij} = 0$  для всех  $i \neq j$ .  $\gamma_{ij} = 0$  для всех  $i \neq j$ .

$$d_i = \begin{cases} d & \text{для всех ат. } C \\ d + h_i \beta & \text{для ат. } Si \end{cases}$$

$$\beta_{ij} = \begin{cases} \beta & \text{для ат. } C \\ \beta k_j & \text{для ат. } Si \end{cases}$$

$k_j$  и  $h_i$  -  
- параметры моделирования

Из матрицы свободы:  $H = dI + \beta h$   
 $S = I$  базисный набор ортонорм.

вариат. задача  $(dI + \beta h - \epsilon I) \cdot C = 0$

Для решения делит матрицу на  $\beta$  и  $X = \frac{d-\epsilon}{\beta}$  вводят  
решают:  $(X I - h) C = 0$

№3 • метод конформационного взаимодействия

Есть решение МФХ - набор  $M$  спин-орбиталей; где построение определено и рассчитано эллип. энергии используя мало  $N$  из них. Для корректировки решения: используя  $M-N$  функций где построение доп. определено-е (запись одной или  $>$  числа функций нех. опред.  $\Phi^0$  на другие из доп. набора)  $\left. \begin{array}{l} \text{имн. физически} \\ \text{возбуждение } e^- \Rightarrow \text{возд.} \end{array} \right\}$  определение:  $\Phi_{ijk} \leftarrow \text{нех., исчез.}$

$$\Phi = \Phi^0 + \sum_{k=1}^L c_k \Phi_k \quad \rightarrow \text{л. Вари. ф.}$$

Тогда задача поиска наименшей функции - сводится к мин-ции Е нутри вариационной задаче  $\boxed{THC = ESC}$   
общей варьированием  $c_k$ , м.к.  $k$ .

$C$  - вектор коэф.  $c_k$   
 $S$  - матрица  $\Phi_k$  (единич.)  
 $H$  - матр. эллип. гамильтон.

Если функция  $\Phi_j$  лев. одновременно возб-ой и не относится к  $\Phi_I$ , то  $H_{ij} = 0$ . Т.к.  $3x n > np$ . возбуждения не  $\langle \Phi | H_e | \Phi_{ijk}^{mp} \rangle = 0$ , а интересует  $\langle \Phi_j^n | H_e | \Phi_{jke}^{mp} \rangle$  значит т.е. отличия от  $0$  только те матр. элементы, в ком. ф-ии отличия не более, чем 2 орб.

↓ Ограничиваются определениями, 1 или 2 присвоено возбуждению по отношению к  $\Phi_0 \Rightarrow KB_1 + 2$

Если расположение  $\square$  винограда  $\Rightarrow$  наимен.  $KB$  все  $M$  спин-орбиталей  $\Rightarrow$

N5 Распределение электронной плотности в молекуле. Торбдки связей и зарядов на атомах как характеристики состояния. Атомы в молекулах. Соотношение квантовых и классических представлений о связи свойств молекул с их строением.

- показание электронной плотности создаваемое  $\text{J}-\text{e}^-$  comp.

изменяется прибл. АКАО MO

$$\int \Psi^2 d\tau = \int_{-\infty}^{\infty} \sum_i n_i \Psi_i^2 d\tau = \int_{-\infty}^{\infty} \sum_i n_i \left( \sum_{\mu} c_{\mu i} \chi_{\mu} \right)^2 d\tau =$$

$$= \sum_i n_i \left( \sum_{\mu} c_{\mu i}^2 \int_{-\infty}^{\infty} \chi_{\mu}^2 d\tau + \sum_{\mu \neq \nu} c_{\mu i} c_{\nu i} \int_{-\infty}^{\infty} \chi_{\mu} \chi_{\nu} d\tau \right) = N$$

$n_i$  - число  $e^-$  на  $i$ -ой MO

$N$  - число  $\text{J}_1-e^-$

$c_{\mu i}$  - коэффициенты

$$\sum_i n_i c_{1i}^2 + \sum_i n_i c_{2i}^2 + \dots = N$$

Таким образом  $\chi_{\mu}$  и  $\chi_{\nu}$   $\sum \sum = 0$

$$N = \sum_i n_i c_{1i}^2 + \sum_i n_i c_{2i}^2 + \dots + \sum_i n_i c_{ri}^2$$

каждая сумма - вклад  $e^-$  в эл. плотность

$$\boxed{P_{\text{мн}} = \sum_i n_i c_{\mu i}^2} \quad - \text{эл. плотность на м-ом атоме}$$

Физический  $P_{\text{мн}} \cdot e$

- заряд атома

$$g_{\mu} = h_{\mu} - P_{\text{мн}}$$

$h_{\mu}$  - число  $e^-$ , входящих в  $\text{J}_1$ -систему  
 $= 1$  для  $C$ ,  $P_{\text{мн}} \approx 0$ ,  $R$ -сигн  
 $= 2$  параллель и антипараллель  $N$   
 однородный, пренебрежимо  $0$

Таким образом число заполнения MO - это соотношение  $\text{J}_1$ -электронов к общему числу  $e^-$  в молекуле

□ Так же  $\text{J}_1 = \text{J}_1^*$  состояние формальдегида

$$P_{11}^* = 1,0$$

$$P_{22}^* = 1,0$$

$$g_1^* = 0$$

$$g_2^* = 0$$

$$\begin{matrix} n_1 = 1 \\ n_2 = 1 \end{matrix}$$

$$\begin{matrix} C = 2 \\ O = 1 \end{matrix}$$

$$P_{11} = 1,445$$

$$P_{22} = 0,555$$

$$g_1 = -0,445$$

$$g_2 = +0,445$$

т.е. О теряет  $e^-$  плотность, С приобретает

- Порядок связи между атомами и и  
Вследствие этого. т.к. положение в пробе и у связанных  
им атомами необходимо ввести в МОХ выражение  
где её заряды - порядок подвижной связи

$P_{ij} = \sum n_i c_i c_j$  козр. в интервалах непересекающихся  
дост. величины

$$\text{также } P_{12} = 2 \frac{1}{\sqrt{2}} \frac{1}{\sqrt{2}} = 1 \quad - \text{Jcb.} \quad \left. \begin{array}{l} 1 - \text{Jcb} \\ \end{array} \right\} \sum = 2$$

Дал оем. сопротивление Р меньше  
Возможность найти е<sup>-</sup> и у атомами.

- Аддитивные соединения

№6 Общие свойства симметрии наимен.

Перестановочная симметрия и тогерна симметрия. Перестановочно-инверсионные группы симметрии.

Группой с наименованием множества элементов  $\{a, b, c, \dots\}$  где которых определена групповая операция ( $*$  или  $\circ$ ) состоящим из собой упорядоченной пары элементов  $a, b \in G$  единиц. элемент  $c \in G$ :  $a \circ b = c$ , при этом  $(a \circ b) \circ c = a \circ (b \circ c)$   $\forall a, b, c \in G$  ассоциативность  $\exists e \in G : a \circ e = e \circ a = a \quad \forall a \in G$  единичный элемент  $\exists a^{-1} \in G : a \circ a^{-1} = a^{-1} \circ a = e \quad \forall a \in G$  обратный элемент

$\boxed{a \circ b = b \circ a \quad \forall a, b \in G}$  коммутативность  
 $\Downarrow$  группа - коммутативна (абелева)

- $e = 0$  если  $0 = +$
- $e = 1$  если  $0 = *$
- $G$  либо конечной или бесконечной
- Гордые группы считаются число элементов группы  $= n$
- Видением 2 типа группы:
  - группы перестановок множеств. частичн.
  - тогерные группы (пространств) симметрии, обусловленные трехмерного про-ва и соответствующими симметрией ном. силы действии. частичными.
- Все возможные перестановки  $S_n$  пар.  $n!$  тогересимметрических элементов
- Если 2 типа перестановок  $S_2 \otimes S_6$  с общим числом  $\Rightarrow$  первое произведение группы  $\otimes - 08 = 2! \times 6! = 1440$
- Первое произведение группы  $A = \{g_1, \dots, g_n\}$  порядка  $n$  и группы  $H = \{h_1, \dots, h_m\}$  порядка  $m$  есть группа  $F$  порядка  $n \times m$  в элементами  $f_k = g_i h_j \quad i = 1 \dots n \quad j = 1 \dots m$
- $F = A \otimes H = \{g_i h_j, \quad i = 1 \dots n, \quad j = 1 \dots m\}$

Не учитывая все операции симметрии

Наиболее полные - полные перестановочно-инверсионные группы первой конфигурации (ППИЯ)

включают:

- тогр. преобр. ( $E$ )
- перестан. тогр. добр. ( $P$ )
- инверсии ( $E^*$ )
- $E^* P$  комбинации

$$\text{ППИЯ} = \{E, P, E^*, E^*P\}$$

устанавливается порядок группы

В большинстве задач, когда объектом являются некие стационарные конфигурации, ванные такие преобразований, которые не требуют групповых разрушений структурных элементов преобразований, осуществляющие элементами пространственных групп симметрии:

(1) последовательность симметрий ( $S$ )  
при отражении совмещается с собой

(2) инверсия ( $i$ )  
при изменении знаков всех декартовых координат при всех центрах максимума она совмещается с собой (при углах коорд. совм. есть и. м.)  
пр: зеркально - зеркально.

(3) повороты ось и - порядка ( $C_n$ )  
при повороте максимум на  $\frac{2\pi}{n}$  она совмещается с собой.

(4) зеркально - повороты ось и - порядка ( $S_n$ )  
максимум совмещается с собой при повороте на  $\frac{2\pi}{n}$  и отражении в последовательности 1 оси поворота  
пр: зеркально. зеркально.  $S_6 \equiv C_3$

Совокупность операций симметрии, порожденных этими элементами симметрии и совмещениями максимумов саму, совместно симметрии. "Горизонтальные" зеркальные зеркальные группы симметрии. Виды и. м.

N7 Точные симметрии - базисные  
элементы математических групп. Представление и характеристика

групп симметрии. Вырождение групп  
уровней для высокосимметрических систем

• Группы точечных групп:

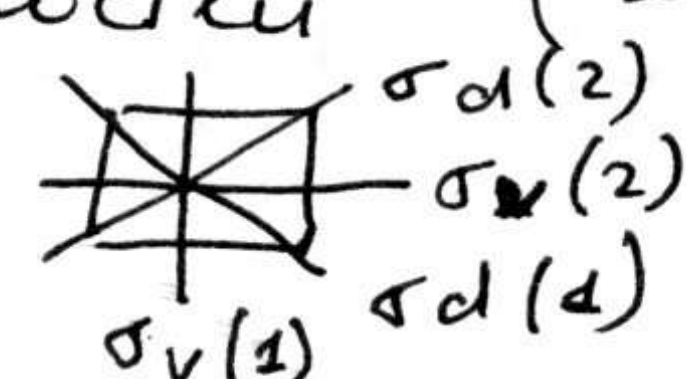
1. Томоэстинное преобразование  $E$
2.  $(n-1)$  поворот вокруг оси  $C_n$  на угол  $\frac{2\pi}{n}$

$$k = 1 \dots n-1; C_n^k - \text{поворот}$$

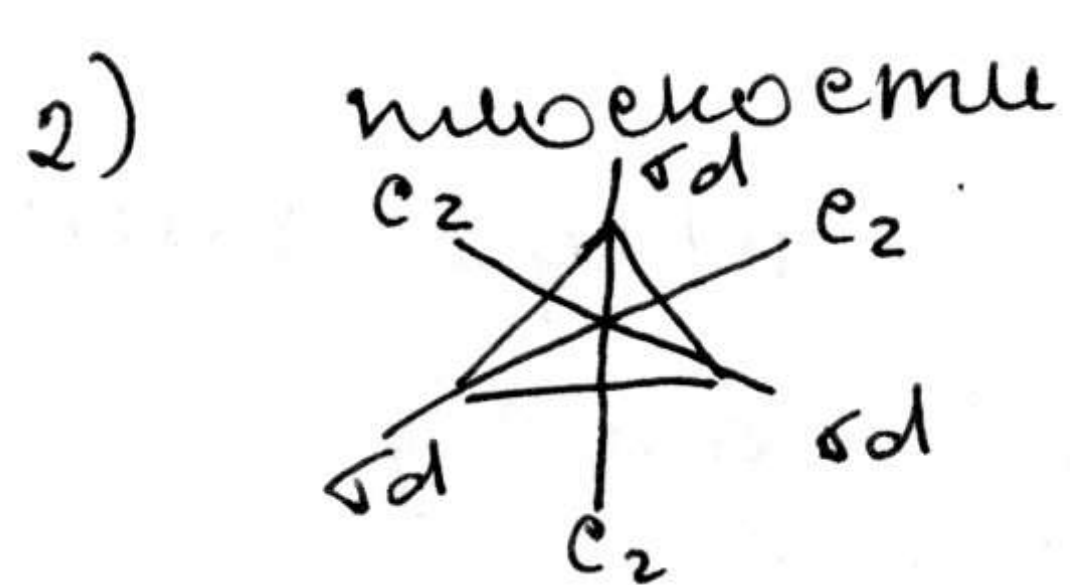
3. отражение  $\sigma_d \sigma_d \sigma_n$   
 $\sigma_d$  - плоскость виногр.  $C_n$

$$\sigma_n = 1 \quad C_n$$

$\sigma_d$ : 1) 2 плоск. набора вертик. плоскостей (изображение - 2  $\sigma_d$  и  $2\sigma_v$  - не перекр. груз в друга



и  $\sigma_v$  - 2 плоскости изображения и зеркального изображения пирамиды - нет  $C_3 \Rightarrow$  все  $\sigma_v$



4. инверсия  $i$
5.  $(n-1)$  зерк. поворот  $S_n^k$

Тривиальное совпадение:  $S_2 = i$

$$S_n \text{ к } j \text{ по } S_n^{2j} \text{ и } n-\text{четн.} = C_{n/2}^j$$

• Представление групп

Представляем от групп операций симметрии к группе  
координатирующих или операторов или матриц

• Группы  $G$  и  $H$  изображаются изоморфными, если между  
ними и группами  $G$  и  $H$  существует однозначное соответствие, причем + элемент

$$g_1 \rightarrow h_1 \text{ и } g_2 \rightarrow h_2, \text{ то } g_1 \cdot g_2 \rightarrow h_1 \cdot h_2$$

Отображение  $F$  групп  $G$  в группу  $H$  ( $G \rightarrow H$ ) называется  
изоморфизмом, то  $F(g_1 \cdot g_2) = h_1 \cdot h_2$  и  $F(g_1) = h_1$

• Группы  $G$  и  $H$  изображаются изоморфными, если они  
имеют одинаковый соединяющий, т.е. соответствующий  
элементов групп и их изображений совпадают, т.е. соответствующие  
и  $g_1 \leftrightarrow h_1$ , то  $g_1 \cdot g_2 \leftrightarrow h_1 \cdot h_2$ . Отображение  $G \rightarrow H$  называется  
изоморфизмом

Для обоих справедливо:

1.  $e_G \rightarrow e_H$  и  $g^{-1} \rightarrow h^{-1}$
2.  $F(g^{-1}) = [F(g)]^{-1} = h^{-1}$

Гоморфное представление групп операторов (или их матриц), соотв-щих операциям симметрии - её представление.

Представление  $\Gamma$  группы  $G$  группой  $H$  называется гомо-  
морфное представление  $F: G \rightarrow H$ ,  $H$ -группа невирондемых  
линейных операторов, действующих в  $n$ -мерном вектор-  
ном пространстве.

Можно работать и в матричном - их размерность - есть  
размерность представления.

Если  $b = a^{-1}ca$    
сопр. эл.

$$F(a^{-1}ca) = F(a^{-1}) \underset{\text{мат. изоморфизм}}{\cdot} \Gamma(c) \cdot \Gamma(a)$$

$$\Rightarrow \Gamma(b) = F(a^{-1}ca) = F(a^{-1}) \cdot \Gamma(c) \cdot \Gamma(a) = F(e) \Gamma(a^{-1}) \Gamma(a) = \\ = \Gamma(c) \Gamma(a^{-1}a) = \Gamma(c)$$

В одномерном случае сопр. эл. имеют 1 представление  
В многомерном случае нет

• Собирают в единый матриц  $\chi_\Gamma$  данного представления нари-  
вают его характером

$$\chi_\Gamma = \{ \chi_\Gamma(g) : g \in G \}$$

$$\chi_\Gamma(g) = \operatorname{tr} \Gamma(g)$$

Мы определили функцию на группе.

• Если каждому элементу  $g$  группы  $G$  поставим в  
соответствие число (комплексное)  $\chi(g)$ , то говорят  
что на группе  $G$  задана ф-я  $\chi$ .

Характеры сопр. элем. совпадают

Сиг не меняется при преобразованиях подобия, т.е. при  
переходе к другим базисам, а также при измени. пересч.  
матриц

• Рассмотрим пространство  $R^n$  размерности  $n$  задано представлением группы  
и порядка  $m$ . Построим  $R^k$  размерности  $k < n$   
изоморфно  $\Gamma(g_i)$ , если для любых  $f \in R^k$ :

$\Gamma(g_i)f \in R^k$ . Если подпр.  $R^k$  изоморфно относительно  
без операторов  $\Gamma(g_i)$ , то это приводящее представление

Матрица  $\Gamma$  имеет блочный вид:  $\Gamma(g_i) = (\Gamma_I(g_i) \oplus \Gamma_{II}(g_i))$   
 $\Gamma_I$  и  $\Gamma_{II}$  - квадр. матрицы  $[k \times k]$  и  $[(n-k) \times (n-k)]$   
 $F(g_i) = \Gamma_I(g_i) \otimes \Gamma_{II}(g_i)$  прямая сумма  
 $\Gamma_U = F_3 \oplus \Gamma_I$

• Если мы в одном из базисов матрицы представления  $\Gamma$  не  
приводим к блочно-диагональному виду, то представле-  
ние называется неприводимым

# 7 Классификация точечных групп симметрии

**C<sub>s</sub>**

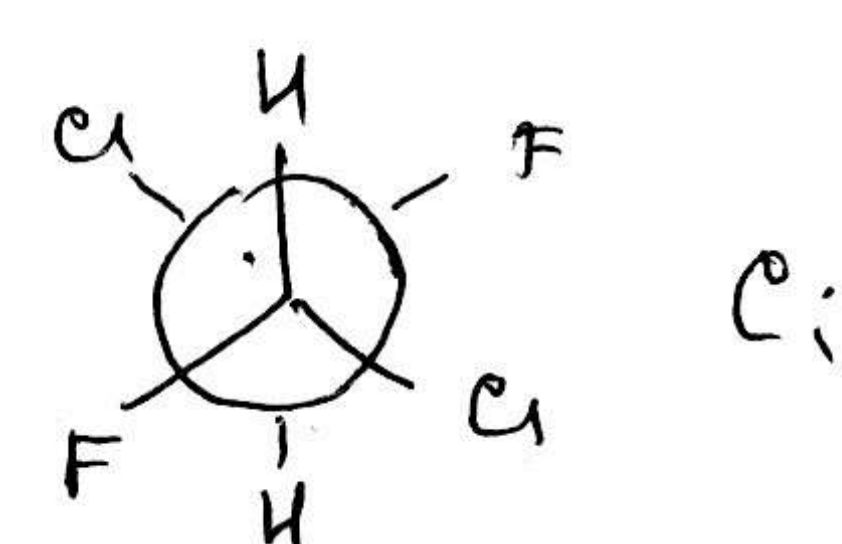
eg. зн. сим - неоднород.

{E; C<sub>n</sub>}



**C<sub>i</sub>**

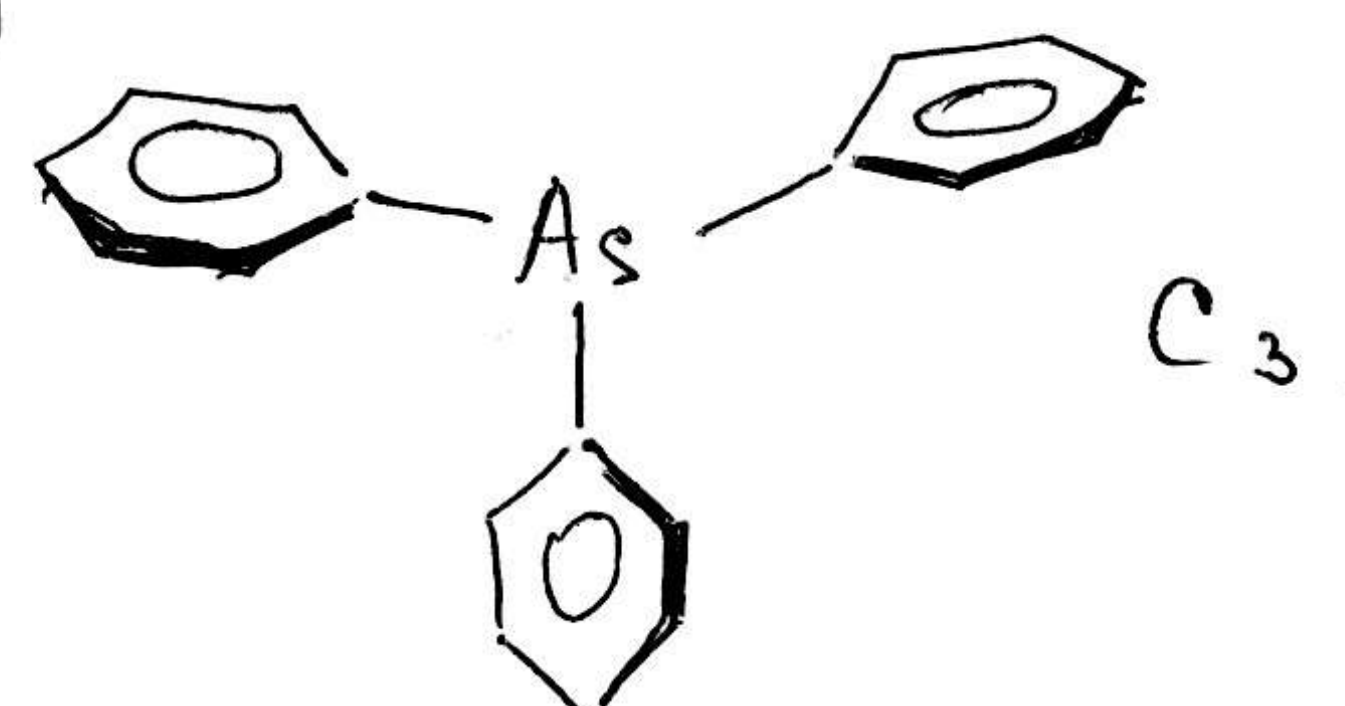
eg. зн. сим - неоднородн. {E; i}



2<sup>II</sup>.

**C<sub>u</sub>**

одна поб. ось сим  
группы, образованные  
{E, Cu, Cu<sup>2-</sup>... Cu<sup>n-1</sup>}  
степеними 1 зеркала - цинические



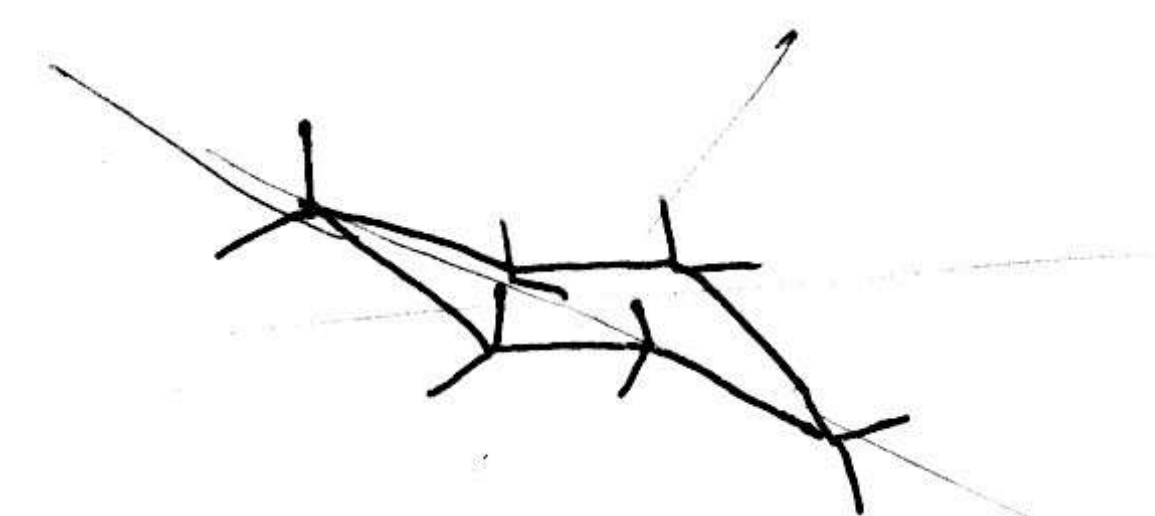
**S<sub>n</sub>**

зерк. поб. ось в порядке

{E, Sn, Sn<sup>2-</sup>... Sn<sup>n-1</sup>}

S<sub>n</sub><sup>n/2</sup> = i, n четно n/2 неч

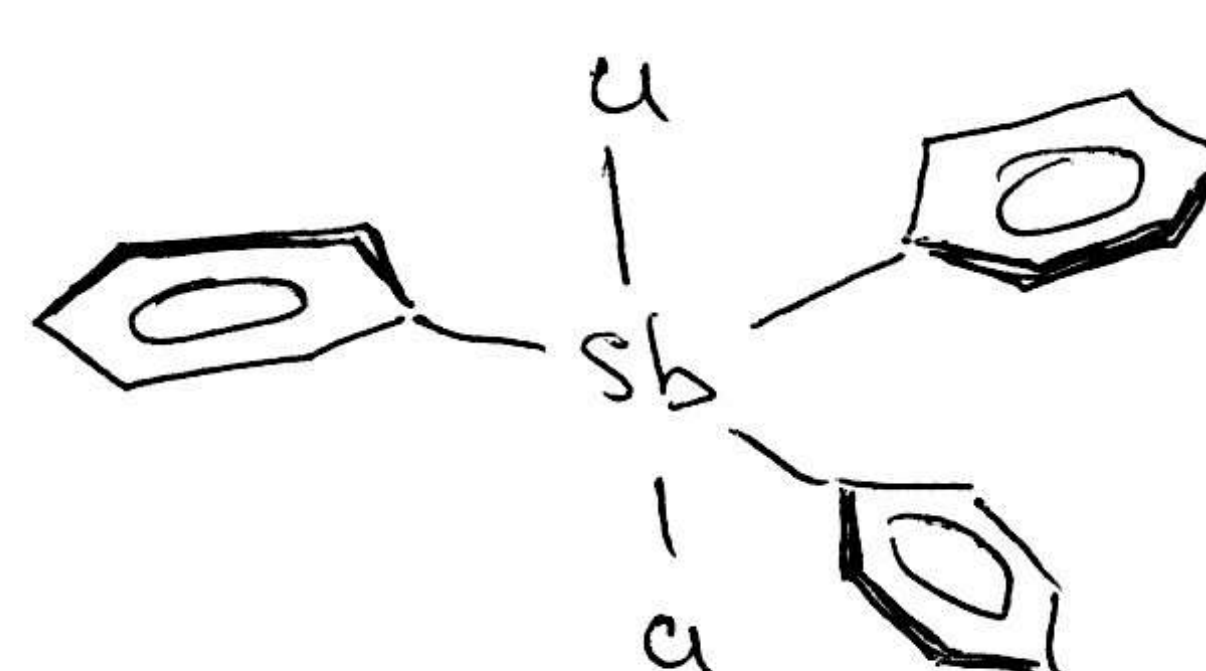
S<sub>n</sub><sup>n/2</sup> = C<sub>n</sub> n нечетно нечетн



**D<sub>n</sub>**

помимо поб. оси есть 1 ось оси 2 поб.

их - генераторные тор. группы



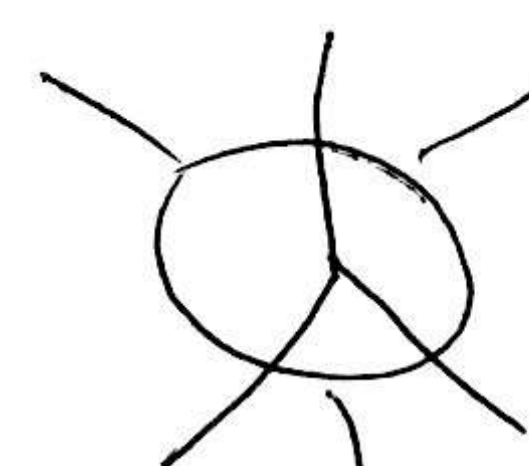
**C<sub>nv</sub>**

Осн. C<sub>n</sub> + σ<sub>v</sub> (внешн. ось)

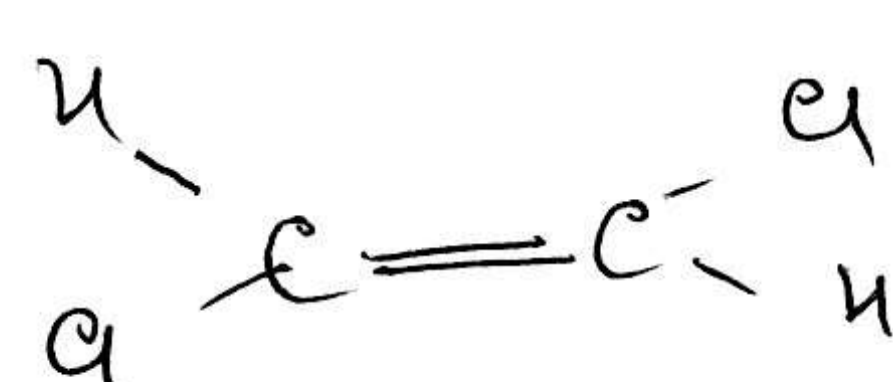


**D<sub>nd</sub>**

D<sub>n</sub> + отражение в плоскости, под оси C<sub>n</sub>



**C<sub>nh</sub>**



Pn

Pn + омпак. б. зору. шок. 1 C<sub>n</sub> в соедин. Осн II  
шок.



Бензин мономере 2-фурм

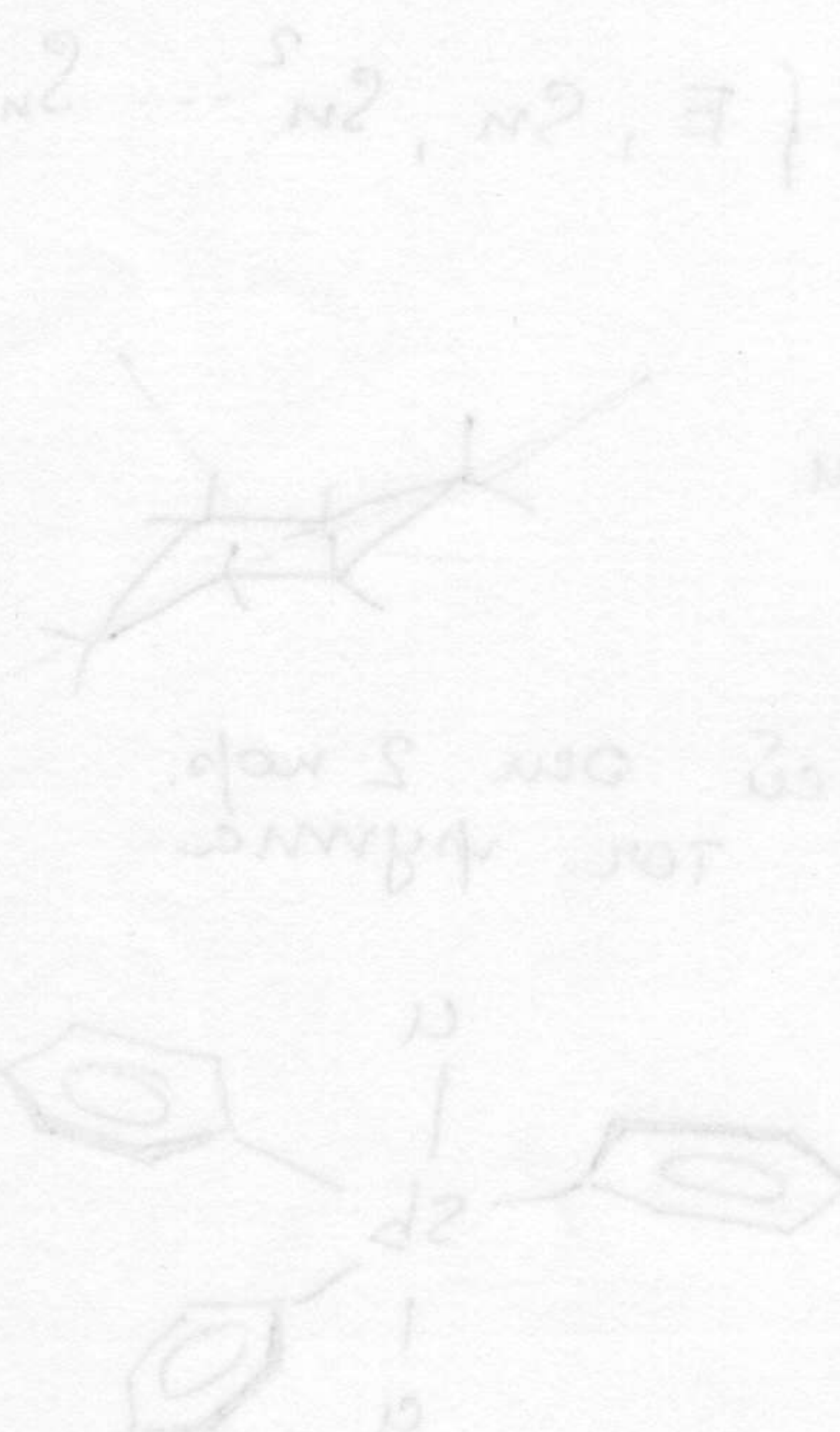
-T  
-O  
-I

l - гомоат. центр. инв.

O<sub>n</sub> - SF<sub>6</sub>

I<sub>n</sub> - [B<sub>12</sub>H<sub>12</sub>]<sup>2-</sup>

T: { UC<sub>3</sub> + 5d => 5d } Td (cн)



**№8** Симметрии МО. Правило непрерывности  
Гармоничного сохранения орбитальной симметрии  
Использование принципа при анализе механизма  
химических превращений.

Понятие, что при решении электронной задачи при некоторой фиксированной конфигурации ядер, их начальный набор возможных электр. состояний  $\{\Phi_k\}_{1 \dots n}$ , описываемых не однотермическими ф., а их комбинациями (это важно, т.к. определяет спектра, опред. методом Х-Ф, можно описывать только основное состояние молекул, а нас интересует набор таких состояний) Эти состояния как-то упорядочены по энергии. Вопрос: возможно ли пересечение этих поверхностей при некотором взаимном расположении ядер в молекуле?

Ответ: решаем варианч. задачу  $\hat{H}_e \Psi = E \Psi$  с оп.  $\Psi = \sum_{k=1}^n C_k \Phi_k$

В случае 2 состояний

$$(H - ES) \cdot C = \begin{pmatrix} H_{11} - ES_{11} & H_{12} - ES_{12} \\ H_{21} - ES_{21} & H_{22} - ES_{22} \end{pmatrix} \begin{pmatrix} C_1 \\ C_2 \end{pmatrix} = 0$$

корни этой системы совпадают если  $\Gamma = 0$   $E_{1,2} = \frac{H_{11} + H_{22}}{2} \pm \frac{\sqrt{(H_{11} - H_{22})^2 + 4H_{12}H_{21}}}{2}$  могут

Если это система, состоящая из двух одинаковых молекул, то пересечение их конфигураций, т.е. пересечение с разницей в 2 единицах, не может быть выполнено автоматически.

### • Правило непрерывности

Если молекула двухатомная и единич. геометрия наложена на обе орб-тии, то это означает, что обе орб-тии должны быть параллельны. Это возможно когда орб-ти  $\Phi_1$  и  $\Phi_2$  имеют разную симметрию ( $H_{12} = 0$ ). Если же  $\Phi_1$  и  $\Phi_2$  одного типа и не пересекаются, то это означает, что они лежат на одной кривой 2x от.

### • Выводы и заключение

Выводы: принцип сохранения согласования (одностороннего) заполнения орбитали единичных реагентов, в которых молекулы и орбитали продуктов поменялись местами, то единичные единичные симметрии на соответствующих группах друг другу и промежуточные реагенты, протекают в заданном порядке, чем согласование реагентов, где соответствие нарушается.

Т.е. в согласованных реагентах сохраняется общ. симметрия

• Рассмотрим ППЭ, виводящее координаты реакции и ПС -  
исходные признаки и строим подход к анализу проблем  
реакции. Но он слишком сложен. Но в то же время  
существует достаточно много сведений о структуре отг.  
у-ов ППЭ, определяющих тип ПС и способ обнаруже-  
ния. Т.о. эту тему, а также видов необходимых  
выработки правильных, способов обнаружения реакции, очень важных экспериментальных  
и механизмов методов рассмотрим позже.

$$\hat{H} = \hat{H}_{int}(r_1 \dots r_{k-1}) + H_{tr}(z_0)$$

$$\hat{H}_{int}(r_1 \dots r_{k-1}) = - \sum_{k=1}^n \frac{1}{2m_k} \nabla_{r_k}^2 + E_e(r_1 \dots r_{k-1})$$

базир. обл. сфер. симметрии

$$H_{tr}(z_0) = -\frac{1}{2M} \nabla_z^2$$

своб. движение некоторой час. частицы в м.

$$= \sum m_k \omega_k^2 r_k^2$$

е радиус - вектором к.н.

$$x_n(R) = X_{tr} \cdot Y_{int}$$

задача о движении гармон. частицы

$$-\frac{1}{2M} \nabla_z^2 X_{tr}(z_0) = E_{tr} Y_{tr}(z_0)$$

решение:  $E_{tr} = \frac{k^2}{2M}$

онесущий информативное движение

$y_{tr}(z_0) = A e^{ikz_0}$

$k$  - волновой вектор  $k = \frac{p}{\hbar}$

(2) Радиационное взаимодействие и колебания

$$\left\{ - \sum_{k=1}^n \frac{1}{2m_k} \nabla_{r_k}^2 + E_e(r_{k+1} \dots r_n) \right\} Y_{int}() = E_{int} \cdot Y_{int}()$$

$H_{int} = \sum_{k=1}^n \frac{\mu_k^2}{2m_k} + E_e(r_{k+1} \dots r_n)$

$r_k$  - радиус - вектор moren частицы в ног. системе (вспомог. вместе с гравиц.)

$$L = \sum_{k=1}^n \frac{m_k \nabla_{r_k}^2}{2} - E_e(r_{k+1} \dots r_n)$$

Масса перемещения = лин. массы свободы (трансверс. или // перенос) + лин. массы вращения (или ног. сист. относ. неподв.)

$$d\tau_{nk} = d\varphi \cdot r_k + dz_k \leftarrow \text{перем. в ног. е.код.}$$

$v_{nk} = \omega \times r_k + v_k$

$L = \sum_{k=1}^n \frac{m_k}{2} (\omega \times r_k + v_k)^2 - E_e(r_1 \dots r_n)$

$T_L = \sum_{k=1}^n \frac{m_k}{2} (\omega \times r_k + v_k)^2 = \sum \frac{m_k \nabla_{r_k}^2}{2} + \sum m_k ([\omega \times r_k], v_k) + \sum \frac{m_k}{2} [\omega \times r_k]^2$

$\sum \frac{m_k \nabla_{r_k}^2}{2}$  - энергия поступательного движения в ног. сист.

$\sum m_k ([\omega \times r_k], v_k) = (\omega, \sum [r_k \times m_k v_k]) =$

$= (\omega, \sum L_k)$  симметрические

Это энергия когерентна - винчестер - гравиционных движений (пост. сумм. импульса) и титанических (разрывов "и")

- математика

$$[a \times b][c \times d] = (a, c)(b, d) - (a, d)(b, c)$$

$$\sum \frac{m_k}{2} [\omega \times r_k]^2 = \sum \frac{m_k}{2} (\omega^+ (|r_k|^2 I - r_k r_k^+) \omega)$$

$$m_k (|r_k|^2 I - r_k r_k^+) = m_k \begin{pmatrix} y_k^2 + z_k^2 & -x_k y_k & -x_k z_k \\ -y_k x_k & x_k^2 + z_k^2 & -y_k z_k \\ -z_k x_k & -z_k y_k & x_k^2 + y_k^2 \end{pmatrix} = I_k$$

базис  $k$ -адска в меноре инерции системы

№9 Введение переменных центра масс и  
бранистельных переменных для  
одер. начекуи. Энергетический член, задающий  
напряжение ног. несущие координаты. Общий вид  
бранист. гамильтониана.

Мн. режиме электрическое уравнение  
онр.-м. массив данных: где кадой конфигу-  
разии  $E_e(R)$  и вид б.г.  $\Phi_e(r/R)$  -  $\Phi_e(r/R)$

Следующий этап - опред. состояния ядер, движущихся в  
напряжении  $E_e(R)$  (адиабат.).

$$(\hat{T}_n + E_e(R)) \chi_n(R) = E \chi_n(R)$$

Можно упростить!

① Отделение движение центра масс.

Вводим переменные якори:

Румянцев дарвиниста

$$L = \sum_{k=1}^K \frac{m_k v_k^2}{2} - E_e(R)$$

$$\begin{aligned} r_1^{(k)} &= R_1 - R_2 \\ r_2^{(k)} &= r_0^{(2)} - R_3 \\ &\dots \\ r_{k-1}^{(k)} &= r_0^{(k-1)} - R_k = \end{aligned}$$

$$r_0^{(k)} = \frac{\sum_{k=1}^K m_k R_k}{\sum_{k=1}^K m_k}$$

$$\left\{ \begin{array}{l} \text{верх. инд. - подсистема} \\ \text{низи. инд. - относит.} \\ k-1 \quad \text{ко} \\ 2-\text{еест. 2-еест.} \\ 0 - \text{ц.м.} \end{array} \right.$$

В новых переменных:  $L = \sum_{k=1}^{K-1} \frac{m_k p_k^2}{2} + \frac{M p_0^2}{2} - E_e(r_1, r_2, \dots, r_{K-1})$

$$m_k^{-1} = \left( \sum_{j=1}^k m_j \right)^{-1} + m_{k+1}^{-1}$$

(не очень удобно, т.к. не линейно входит отн. масса)

Более естественный раз-а: задача делится на свободное  
движение цм и относит. движение ядер в созданной  
системе в про-те (он не заб. о распол.)

Используем  $p_k = \frac{\partial L}{\partial v_k} = m_k v_k$  (от скоростей ядер)

$$H = \sum_{k=1}^{K-1} v_k p_k - L = \sum_{k=1}^{K-1} \frac{p_k^2}{2 m_k} + \frac{p_0^2}{2 M} + E_e(r_1, \dots, r_{K-1}) = T_H + E_e(r_1, \dots, r_{K-1})$$

$$T_H = \sum_{k=1}^{K-1} \frac{p_k^2}{2 m_k} \quad T_L = \sum_{k=1}^{K-1} \frac{m_k p_k^2}{2}$$

$$\text{в а.с.е } \hat{H} = - \sum_{k=1}^{K-1} \frac{1}{2 m_k} \nabla_k^2 - \frac{1}{2 M} \nabla_0^2 + E_e(r_1, \dots, r_{K-1}) (*)$$

$$\text{в явн. форме} - \sum_{j=1}^K \frac{1}{2 m_j} \nabla_{R_j}^2 = - \sum_{k=1}^{K-1} \frac{1}{2 m_k} \nabla_k^2 - \frac{1}{2 M} \nabla_0^2$$

\* допускает разделение переменных

**№9** Тензор n-го ранга - это кинетическая энергия, которая при наведениях осей преобразуется в моменты, или приведенные координаты и векторов зернистости преба.

Вектор - тензор 3-го ранга.

$$I^+ = I \quad (\text{т.е. единичный})$$

$$\frac{1}{2} \omega^T \left( \sum_{k=1}^K I_k \right) \omega = \frac{1}{2} \omega^T I \omega \quad \text{т.е. выражение}$$

это изотропический Е-тензор в угл. ст. вокруг оси перен.

$$T_L = \sum_{k=1}^K \frac{m_k r_k^2}{2} + \frac{1}{2} \omega^T I \omega + (\omega; L)$$

$$L_k = \sum \frac{p_k^2}{2m_k} + \frac{1}{2} (\gamma - L)^T I^{-1} (\gamma - L)$$

Если носит формулу браунса. Е-т.т. (  $\frac{1}{2} J^T I^{-1} J$  )

$$U_{int} = T_L + E_e(r_1 \dots r_K) = \sum_{k=1}^K \frac{p_k^2}{2m_k} + \frac{1}{2} (\gamma - L)^T I^{-1} (\gamma - L) + E_e(r_1 \dots r_K)$$

коэффициенты амортизации.

$$E_{int} = \sum m_k \text{отношение} \xrightarrow{\text{сумма}} \text{ом} \xrightarrow{\text{ом}} \text{из} \xrightarrow{\text{из}} \text{половине} \text{массы} \text{массы} \text{массы} \text{массы}$$

$$L = \sum_{k=1}^K [r_k^2 \times p_k] = 0 \quad (\text{угл. энегрия})$$

$$U_{int} = \underbrace{\sum_{k=1}^K \frac{p_k^2}{2m_k} + E_e}_{U_{vib}} + \underbrace{\frac{1}{2} \gamma^T I^{-1} \gamma}_{U_{rot}}$$

$$U_{int} = \sum_{k=1}^K \frac{p_k^2}{2m_k} + E_e(r_1 \dots r_K) + \frac{1}{2} (I_{aa} \gamma_a^2 + I_{bb} \gamma_b^2 + I_{cc} \gamma_c^2)$$

$$U_{int} = \underbrace{\sum_{k=1}^K \frac{p_k^2}{2m_k} + E_e(r_1 \dots r_K)}_{U_{vib}} + \underbrace{\frac{1}{2} (I_{aa} \gamma_a^2 + I_{bb} \gamma_b^2 + I_{cc} \gamma_c^2)}_{U_{rot}}$$

Определите положение осей браунса в данном момент времени так, чтобы величина R была минимальной.

Угловые энегрии: мин. положение гибкости. Каждый момент времени R будет минимальным. Для этого нужно из угла.

Углы и определение равновесия.

- наведение осей единичного вращения в данном момент времени с Оabc.
- наведение единичных ортотензоров в приведенных координатах Oz в приведенных координатах Oz' (Oy' и Oz' в 1 плоскости с Oc)

1. Oz совмещаем с Oz - угол  $\theta$

2. Oz' совмещаем с Oz - угол  $\phi$

3. вокруг Oz наведем Oz'' чтобы совместить с Oa и Oy - угол  $\psi$

$\varphi$ ,  $Q$  и  $\psi$  - углы винта

Матрица поворота

$$A = A_\varphi \cdot A_\theta \cdot A_\psi = \begin{pmatrix} \cos \varphi & -\sin \varphi & 0 \\ \sin \varphi & \cos \varphi & 0 \\ 0 & 0 & 1 \end{pmatrix} \cdot \begin{pmatrix} 1 & 0 & 0 \\ 0 & \cos \theta & -\sin \theta \\ 0 & \sin \theta & \cos \theta \end{pmatrix} \cdot$$

$$\cdot \begin{pmatrix} \cos \psi & -\sin \psi & 0 \\ \sin \psi & \cos \psi & 0 \\ 0 & 0 & 1 \end{pmatrix}$$

$M$  - внешний гибкий момент.

• Общий вид браусса. замыкание

$$\boxed{\dot{M}_{rot} = A \dot{J}_a^2 + B \dot{J}_b^2 + C \dot{J}_c^2}$$

$$A = \frac{\tau}{4\pi I_{aacc}} \quad B = \frac{\tau}{4\pi I_{bbcc}} \quad C = \frac{\tau}{4\pi I_{cccc}}$$

браусса. неравенство

$$\left. \begin{matrix} J_a \\ J_b \\ J_c \end{matrix} \right\} \text{последние оси} \quad \left. \begin{matrix} Oa \\ Ob \\ Oc \end{matrix} \right\} \text{на}$$

N 10 ПП как график. представление Е энергии в подсистемах. Общее осв.-ка ПП. Равновесные конформации.

ППЭ - графический образ адиабатич. потенциала, т.е. энерговерхности  $E_e(R)$

$$E(g) = E(g_1 \dots g_{3n-6})$$

- другич. пот. энергии систем от всех независ. геометр. координат.

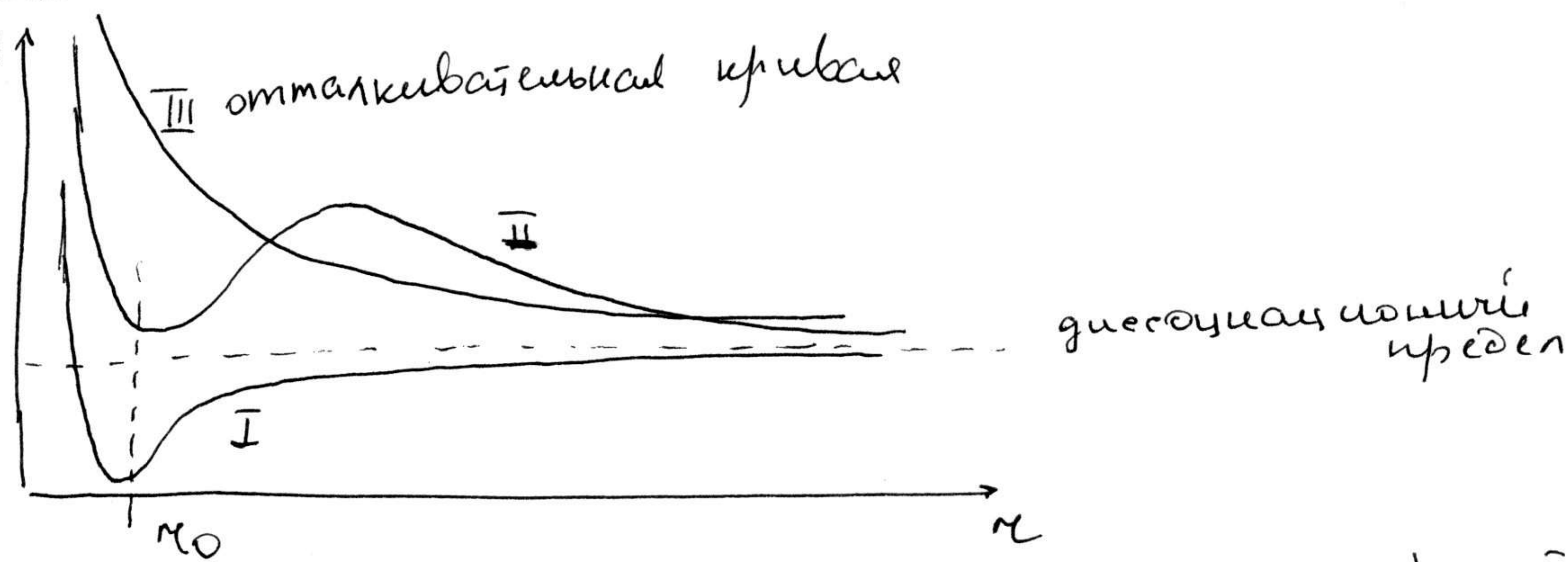
координаты: об. л., угл., валентные, торсии. углы и ...

Общее число  $3n-6$

максимум  $3n-5$

$n$  - число ядер

Двухатомная система - коорд. (2 молекул.)



I - уст. уст. конформации при минимуме расст. Ко  
II - конформации при  $r_0$  явно не метастабильной  
III - неуст. конформации, малекула распадается на атомы

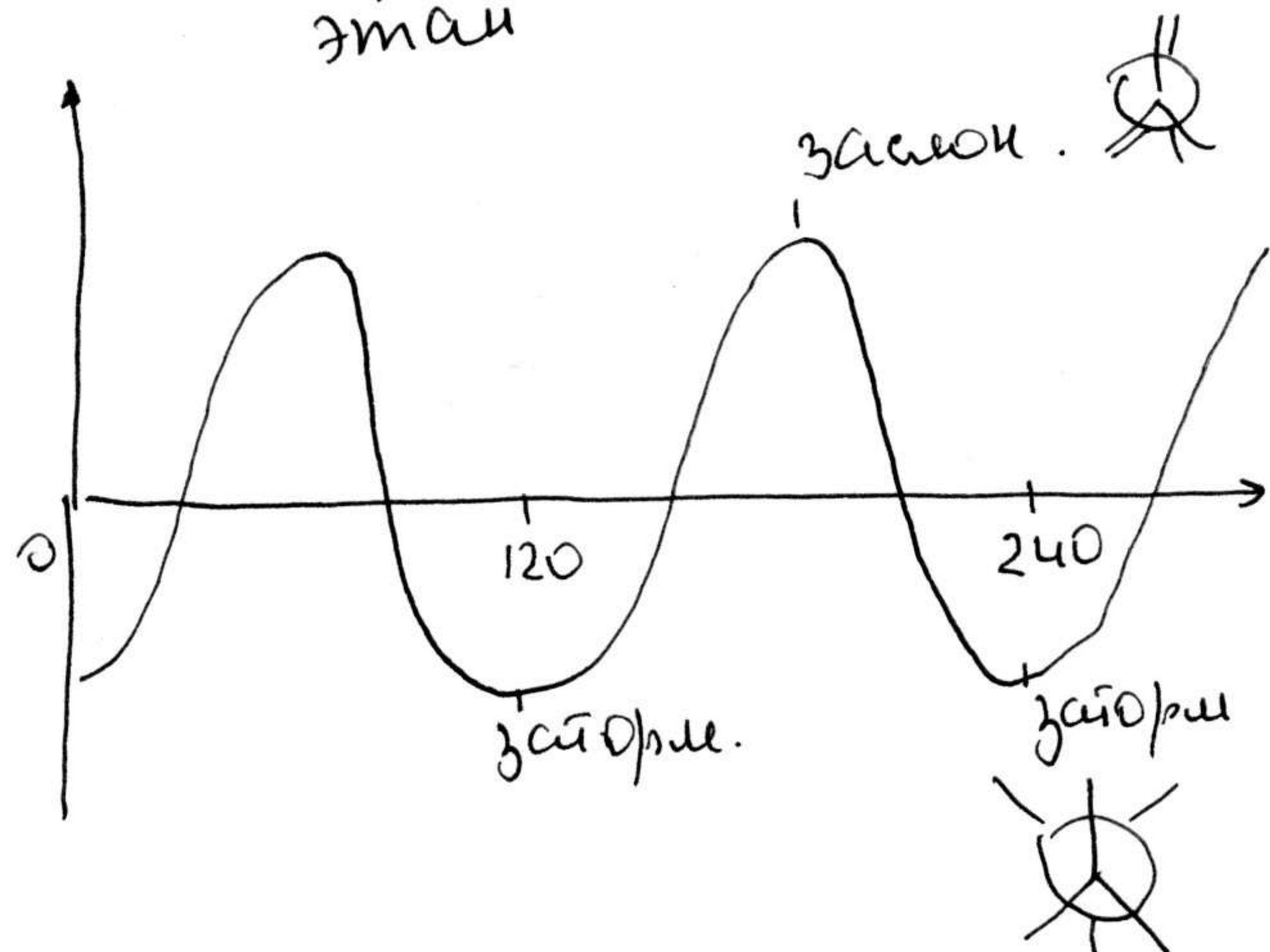
Диссоциацион. предел - энергия разведения на  $\infty$  к атомов (когда молекула не имеет конечной энергии)

max - неуст. состоя.

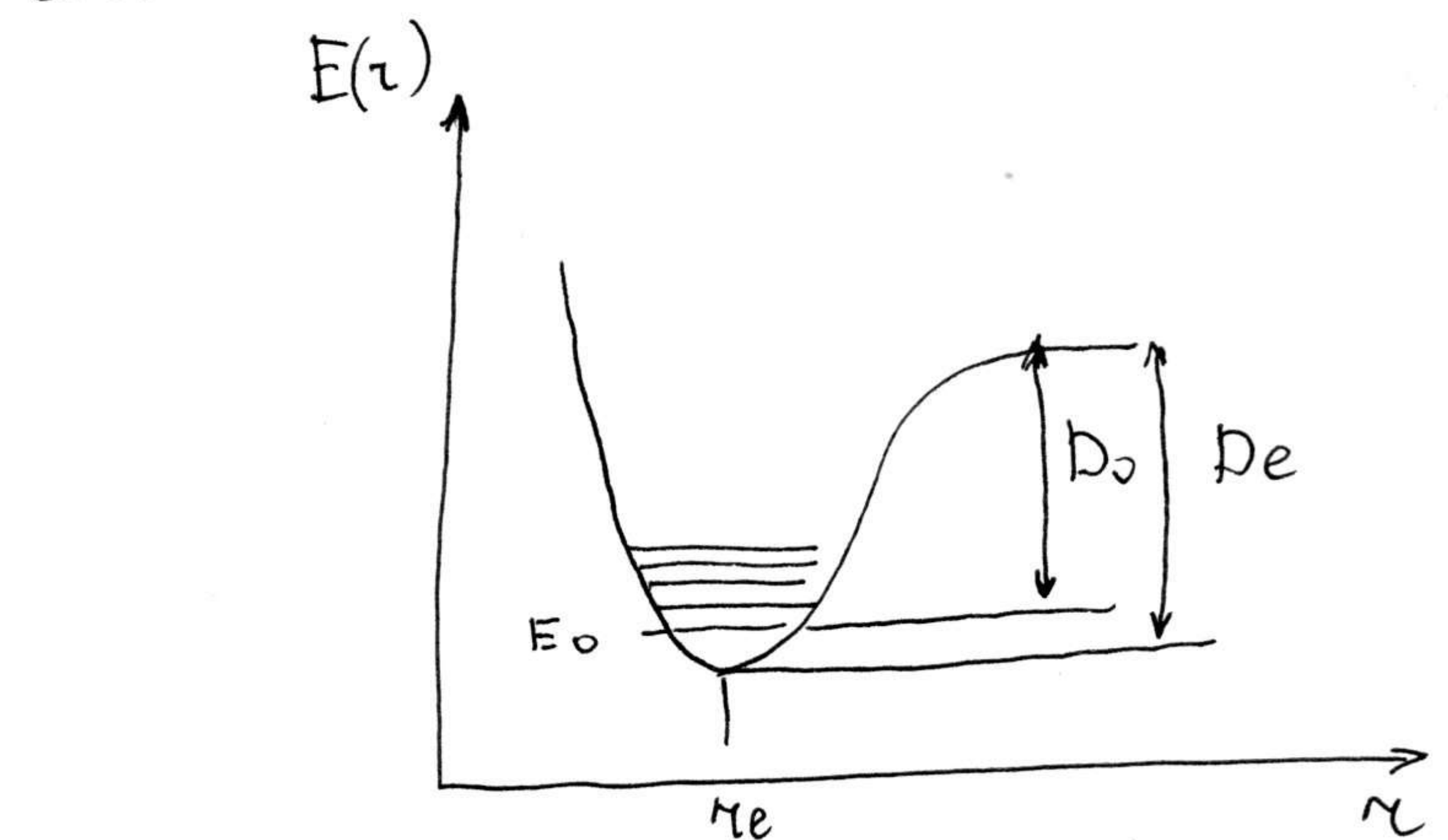
единственное - ПР

min - уст. конф. или метастабильные

Можно проводить конформационный анализ



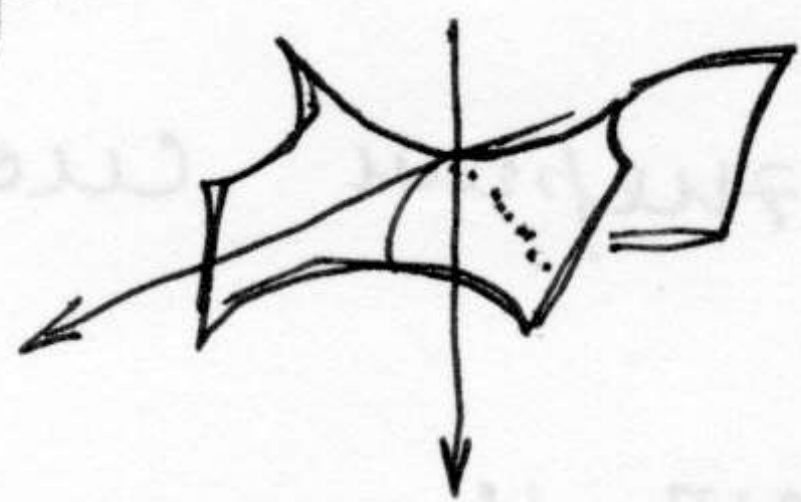
сечение ППЭ



стационарные точки: узлы. состоящие  
но отмаш. и минимумы, т.е. в  
 $\frac{\partial E}{\partial g} = 0$

Релаксация - переход из неуст. конфиг. к минимуму "стаби-  
лизации"

Седло - ПС



(нестационарный) - бифуркация -

бифуркационное III

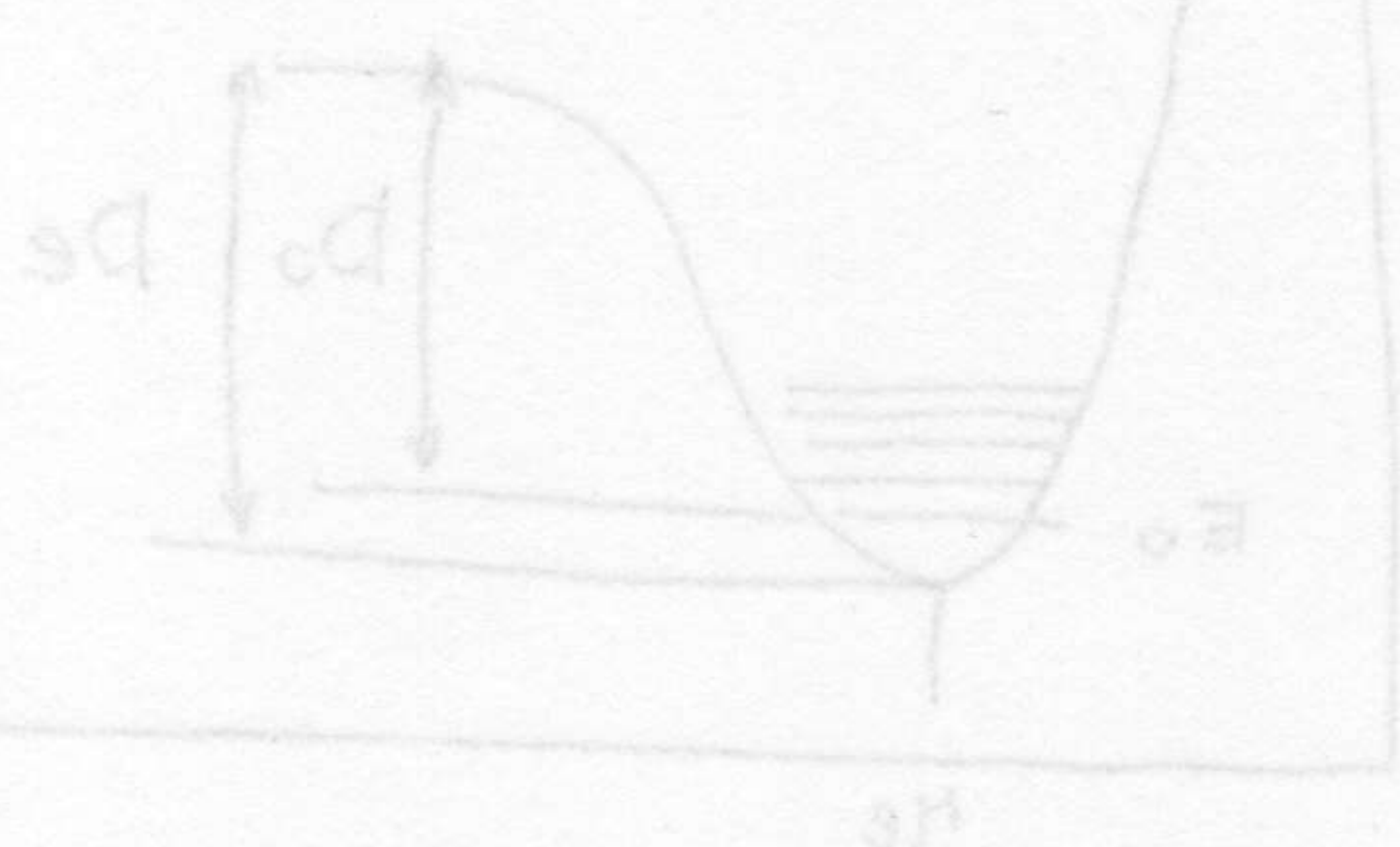
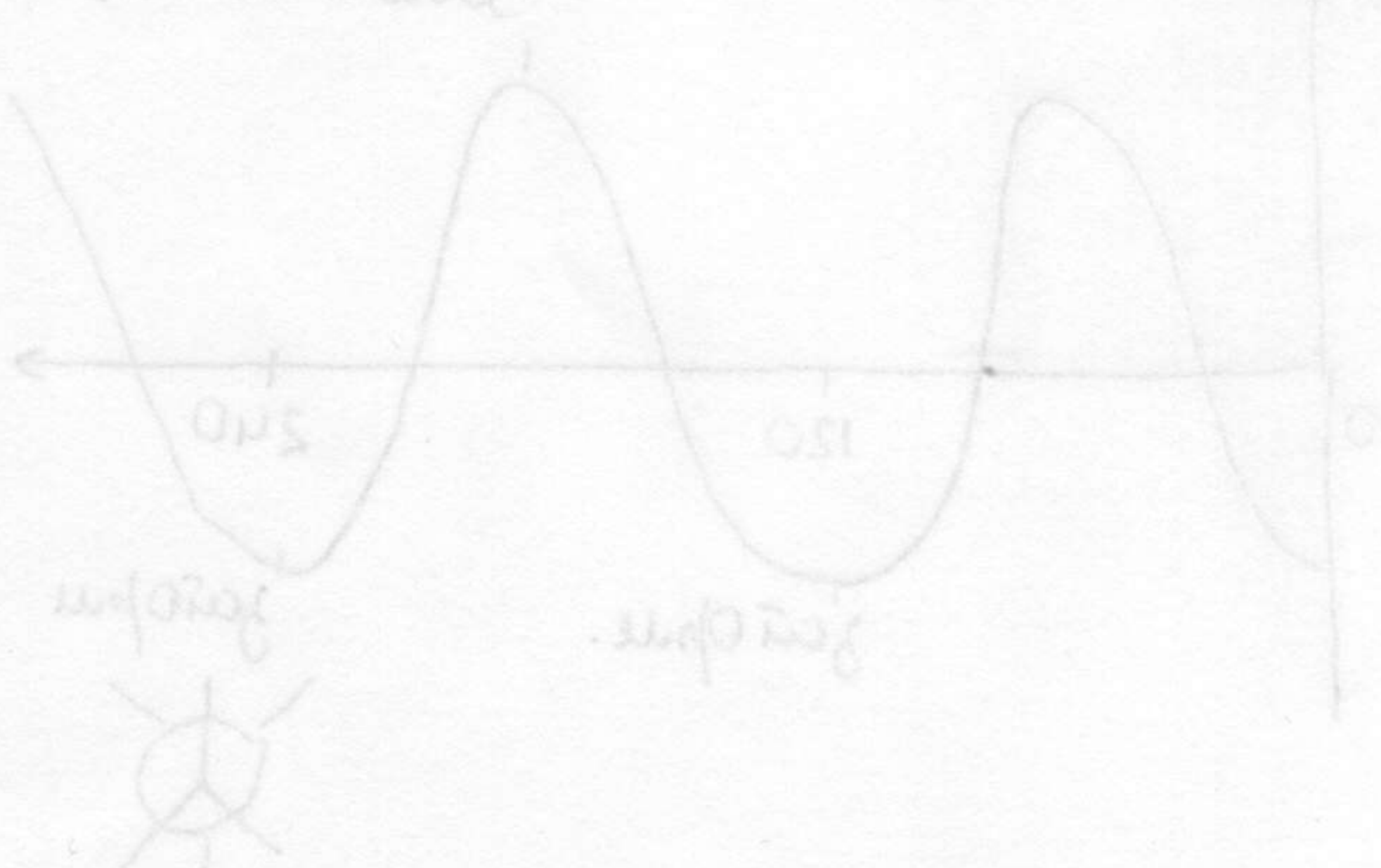


аналогичные бифуркации для нелинейных систем - I  
показывают, что при малых изменениях, система - II  
может вести себя как поверхность - III. При дальнейшем  
(изменении) параметров система может перейти в

стационарную конформацию

R. неуст.

E(г)



NII

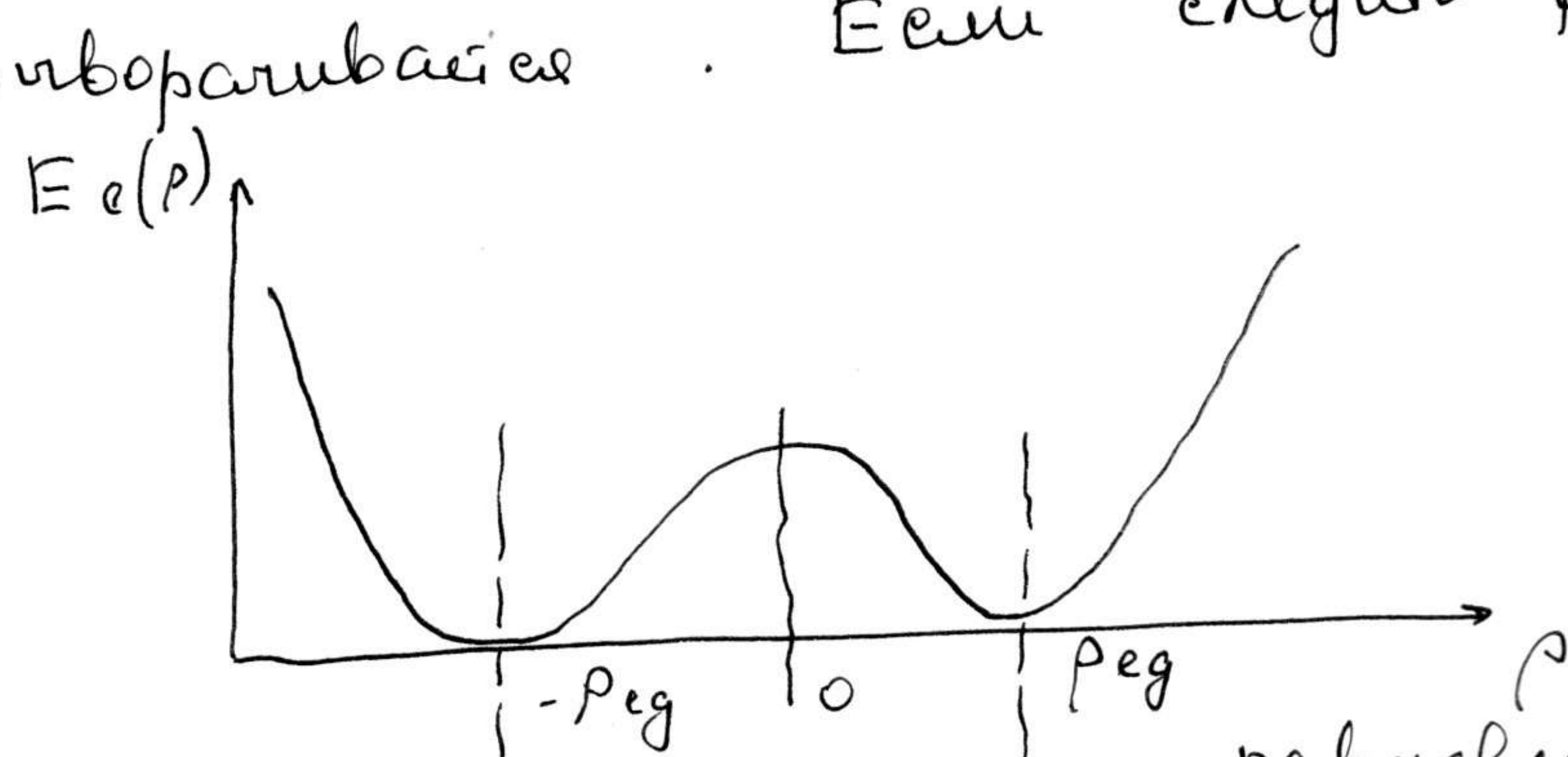
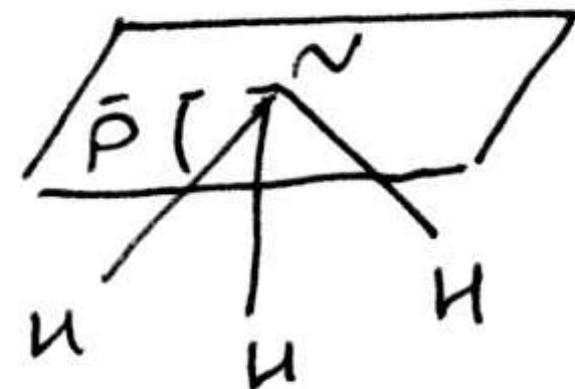
Симметрии ПП Связь симметрий ПП с  
перест. симметрий системой ядер и с тогерий  
симметрией.

Электронный гамма-акт коммутирует со всеми ядрами. Пере-  
голосованием Томп-вих ядер молекулы, не изменяющих их  
аудиций и пот. энергии их вз-ие между собой не  $e^-$ .  
Более того, при инверсии координат всех ядер опера-  
торы поменяют энергию атом. неизменными. Значит энтр.  
запасающих координат коммутирует со всеми элементами ППЦИ  
(полной перестановке-инверсе.)

↓ Аддитивные потенциалы (общ. значение эл. заряда) и имеют симмет-  
рию ППЦИ-функции

Например  $\sqrt{H_3}$   
уничтожает  $\alpha(n-n')$   $\rightarrow \gamma E$  при осц. коорд.  $P_{\text{res}}$ .  
В трёхмерном про-бле это будет перестановки  $n$  (12) или  
(13)

При инверсии  $\sqrt{H_3}$  выворачивается. Если следят через  
ядро



Т.о. ППЭ имеет > високую симметрию, чем равновесная  
конформизация, т.к. ППЭ характеризует не только равновесную  
структурную форму но и любые ядра. Вариации будущего распо-  
ложения

\* в ядре не входит в гл. заряд  $\Rightarrow$  ППЭ инвариантна отно-  
сительно ядерных координат

**N12** Гамильтониан для отыскания звуковых колебаний. Гибридные методы решения задачи о колебаниях молекул. Малые колеб.: Гармоник. приближение. Иордановские координаты и колебание Редонанс Ферми. Четырехчленные приближения задачи о колебаниях молекул.

• Комбинационный Гамильтониан

$$\hat{H}_{vib} = \sum_{k=1}^K \frac{\hat{p}_k^2}{2m_k} + E_e(z_1, \dots, z_K)$$

$$\left( \sum_{k=1}^K \frac{m_k \hat{v}_k^2}{2} + E_e(z_1, \dots, z_K) \right)$$

$$\hat{H}_{vib} = \sum_{j=1}^{3K-6} \left( -\frac{1}{2} \frac{\partial^2}{\partial Q_j^2} + \frac{1}{2} \lambda_j Q_j^2 \right)$$

Определение способа перехода от ест. коорд. к такими ил. колебанием  $\{Q_j\}$  (и соответствующим  $\{P_j\}$ ), в которых матрицы масс и жесткости энтропии для динамических решений задачи:

Такой вид оператора допускает решение задачи:

$$\hat{H}_{vib} \cdot X_{vib} = E_{vib} \cdot X_{vib}$$

$$\hat{H}_{vib} = \sum_{j=1}^{3K-6} \hat{h}_{vib}(Q_j)$$

$$X_{vib}(Q_1, \dots, Q_{3K-6}) = \prod_{j=1}^{3K-6} X_j(Q_j)$$

$$\hat{h}_{vib}(Q_j) X_j(Q_j) = \left( -\frac{1}{2} \frac{\partial^2}{\partial Q_j^2} + \frac{1}{2} \lambda_j Q_j^2 \right) X_j(Q_j) = \varepsilon_j X_j(Q_j)$$

Задача о ГО. Молекула в виде сферокупулоиды будем предполагать

$$\text{Гамильтониан ГО: } \hat{H} = \frac{\hat{p}_x^2}{2\mu} + \frac{kx^2}{2} \quad \mu = \frac{m_1 m_2}{m_1 + m_2}$$

решение квантовое, квантово-механическое.

$$\text{Решение квантовой задачи } \left( -\frac{\hbar^2}{2\mu} \frac{\partial^2}{\partial x^2} + \frac{kx^2}{2} \right) \Psi_n = E_n \Psi_n \quad \Psi_n = N_n \psi_n(x) e^{-\frac{kx^2}{2}}$$

н - номер уровня

$$\gamma = \frac{1}{2\pi} \sqrt{\frac{k}{\mu}} - \text{частота} \quad (\epsilon^{-1}) \quad \omega = \text{см}^{-1} \quad \gamma = \sqrt{\frac{\mu \omega^2}{k}}$$

$$\psi_n(\xi) = (-1)^n e^{\xi^2} \frac{d^n}{d\xi^n} e^{-\xi^2} - \text{помол Эрмита}$$

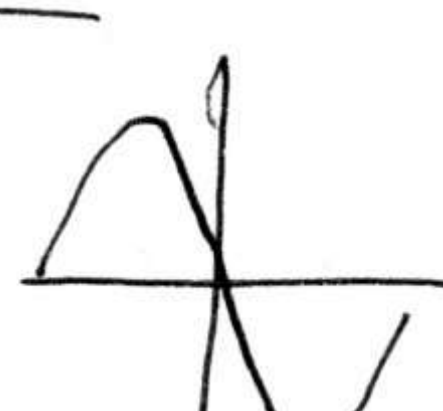
$$N_n = \frac{1}{4\sqrt{\pi}} \sqrt{\frac{\gamma}{2^n n!}} - \text{нормированные коэффициенты}$$

$$\text{Уровни раскола: } \text{раскол радиуса } \hbar \omega, \quad E_0 = \frac{\hbar \omega}{2}$$

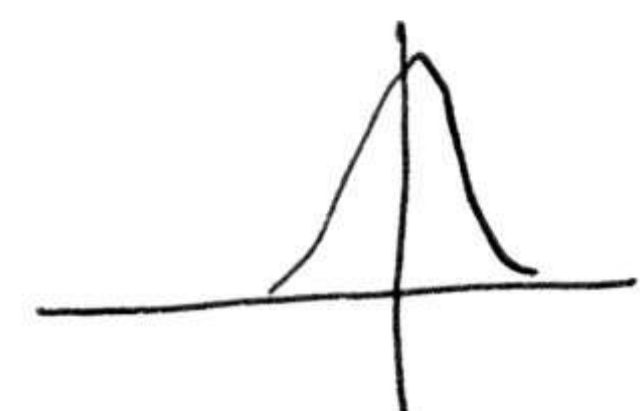
n = 2



n = 1



n = 0



- Нормальные координаты - координаты  $\{Q_i\}$ , в которых вид. параметров <sup>(пред. в виде элемв; начальн. завис от норм. коорд.)</sup> выражаются в виде линейн. зависимостей от норм. коорд.
- Нормальные колебания - такое колебание, которое когда заложена видим норм. координата и при котором все возмущения в него добра приводят к кинетическое изменение и одновременно достигают max. изменения.

Итак, колебательное движение <sup>базовая функция называемая яв-еи</sup> производимо группой  $3N-6$  ГО, а колеб. энергия сумма энргии оmtg. ГО  $3N-6$

$$E_{vib} = \sum_{j=1}^{3N-6} E_j$$

- Колеб. гармонических колебаний, т.е. извращений относительно преобраз. симметрии
- Это значит, что при  $\pm$  преобразовании группы симметрии меняются норм. коорд. не линейно либо преобразуя группу друг друга (если принадлежит 1 изоморфному представлению)

Вырождение норм. коорд. означает колебание одинак. час-ти. Это может проявляться уксусин в зам-ке, когда 2 индекса  $\leq$  вместо 1: различные частоты  $\omega_1, \omega_2, \dots, \omega_n$ , норм. коорд-и (при данной частоте)  $i=1, \dots, n$  - приность вырождения

$$\hat{H}_{vib} = \frac{1}{2} \sum_d \left( - \sum_{i=1}^n \frac{\partial^2}{\partial Q_{di}^2} + \lambda_d \underbrace{\sum_{i=1}^n Q_{di}^2}_{\text{const}} \right)$$

- Регуларные Ферми

N13

Решение как задачи о вращении макетура  
бесиков.

Фундамент Гамильтонова в недеформированной машинке

$$H_{rot} = \frac{1}{2} (I_{aa} \hat{J}_a^2 + I_{bb} \hat{J}_b^2 + I_{cc} \hat{J}_c^2)$$

но принципу коммутации

$$\hat{H}_{rot} = \frac{\hbar^2}{2} \left( \frac{\hat{J}_a^2}{I_{aa}} + \frac{\hat{J}_b^2}{I_{bb}} + \frac{\hat{J}_c^2}{I_{cc}} \right)$$

$$\hat{J} = -i[\mathbf{r} \times \nabla]$$

Вращат. постоянные

$$A = \frac{\hbar}{4\pi I_{aa} c}$$

$$B = \frac{\hbar}{4\pi I_{bb} c}$$

$$C = \frac{\hbar}{4\pi I_{cc} c}$$

$$\boxed{H_{rot} = A \hat{J}_a^2 + B \hat{J}_b^2 + C \hat{J}_c^2}$$

Решение задачи возможна, если угл. момента  $\hat{J}$  на оси МСК. Трекции на оси АСК неизменны.

Связь:  $[\hat{J}_x; \hat{J}^2] = [\hat{J}_y; \hat{J}^2] = [\hat{J}_z; \hat{J}^2] = 0$

$$[\hat{J}_x; \hat{J}_y] = i\hbar \hat{J}_z \quad [\hat{J}_y; \hat{J}_z] = i\hbar \hat{J}_x \quad [\hat{J}_z; \hat{J}_x] = i\hbar \hat{J}_y$$

В МСК длина  $\hat{J}$  не меняется и имеет коммутаторы с проекциями

$$[\hat{J}_a; \hat{J}^2] = [\hat{J}_b; \hat{J}^2] = [\hat{J}_c; \hat{J}^2] = 0$$

Описание: проекции постоянны; отсюда характер вращения неизменен, а в АСК неизм.  $\Rightarrow$  не коммутируют с проекциями (базисными) величинами (их проекциями)

$$[\hat{J}_a; \hat{J}_b] = -i\hbar \hat{J}_c$$

$$[\hat{J}_b; \hat{J}_c] = -i\hbar \hat{J}_a$$

$$[\hat{J}_c; \hat{J}_a] = -i\hbar \hat{J}_b$$

В системе движущейся (Oxyz) на координатной оси самой машинки имеются направления

$$\gamma = (\hat{J}_x; \hat{J}_y; \hat{J}_z) = (J_a; J_b; J_c)$$

Трекции  $\gamma$  на оси АСК не изменяются при вращении машины  $\Rightarrow$  инвариантные вращения проекции перестановочных относительно  $J_{abc}$  и  $g/\delta$  в системе

а проекции  $\gamma$  на оси АСК не изменяются при вращении машины

$$[\hat{J}_a; \hat{J}_c] = 0$$

$$\alpha = xyz \quad \xi = abc$$

$\hat{J}_c$  соотнесен к прямой звезде от  $-J_{go} + \hat{J}$

x

T.O. вращение тела полностью описывается углом  $\gamma$  относительно оси  $\hat{J}_c$

$$[\hat{J}_2; \hat{J}_z] = [\hat{J}_2; \hat{J}_c] = [\hat{J}_c; \hat{J}_z] = 0$$

$\Downarrow$  угл. звезд. операторов, б. орт., можно обозначить  $|J_{KM}\rangle$

$$\hat{J}_2 |J_{KM}\rangle = \gamma (\gamma + 1) |J_{KM}\rangle$$

$$\hat{J}_z |J_{KM}\rangle = M |J_{KM}\rangle$$

$$\hat{J}_c |J_{KM}\rangle = K |J_{KM}\rangle$$

но эти же операторы имеют значение, только если коммутаторы с  $H_{rot}$  неизменны

Доказать это.

$$(1) [\hat{J}^2; \hat{J}_a^2] = [\hat{J}^2; \hat{J}_B^2] = [\hat{J}^2; \hat{J}_C^2] = 0$$

а значит коммут. не любой ин. комбинацией, т.е.  $[\hat{J}^2; \hat{H}_{\text{rot}}] = 0$

т.е. брачайшое состояние соб. момента всегда хар-с с нулем

$$(2) [\hat{J}_z; \hat{J}_a^2] = [\hat{J}_z; \hat{J}_B^2] = [\hat{J}_z; \hat{J}_C^2] = 0$$

$$[\hat{J}_z; \hat{H}_{\text{rot}}] = 0.$$

т.е. существует оптим. проекции начального момента на брачайшую ось наб. сис. коорд:  $M$ .

$$(3) [\hat{J}_C; \hat{H}_{\text{rot}}] = i(B-A)(\hat{J}_a \hat{J}_B + \hat{J}_B \hat{J}_a)$$

т.е. моменты может иметь проекцию  $\hat{J}$  на ось МСК или нет.

• Т.о. состояние момента, где 2 момента ин. совпадают определяется  $|J_{KM}\rangle$ ; а моменты, где все моменты индивидуальны имеют 2 брачайш. извн. числа  $|JM\rangle$

$|J_{KM}\rangle$  зависит от улов Эйнера

оп. Эйнера

$$D_{KM}(\psi; Q; \Psi) = e^{ik\psi} d_{KM}(0) e^{iM\psi} \quad k=0$$

помимо Лекандра  
оп. Эйнера - ерерич. гармоника.

### Типы башков.

Выберем систему осей

$$J_{aa} \leq J_{BB} \leq J_{cc}$$

$$A > B > C$$

- уравнение эллипсоид с полуосами

$$1. E_{\text{rot}} = \frac{J_a^2}{2I_{aa}} + \frac{J_B^2}{2I_{BB}} + \frac{J_c^2}{2I_{cc}}$$

$$\tilde{a} = \sqrt{2I_{aa}E}$$

$$2. a = \sqrt{\frac{2E}{I_{aa}}}$$

$$\tilde{b} = \sqrt{\frac{2E}{I_{BB}}}$$

$$b = \sqrt{\frac{2E}{I_{cc}}}$$

2 типа, т.к. оси соотносятся как брачай. постепенное  $a > b > c$   
к зависимости от мас, каковы главные моменты индивидуальных брачайш. (башок) и имеет брачайшую форму:

N 13 (1) Если  $I_{aa} = I_{BB} = I_{cc}$ , то оси равны, что эквивалентно

$$\hat{I}_{rot} = B(\hat{J}_a^2 + \hat{J}_B^2 + \hat{J}_c^2) = B\hat{J}^2$$

Условие:  $a > 1$  оси вращения ( $> 2$ ) параллельны  $\rightarrow$  конфигурации

np: эти ( $T_d$ )  $B\hat{J}^2 \chi_{rot} = E_{rot} \chi_{rot}$   
 SF<sub>6</sub> ( $O_h$ )  $\exists$  3 кв. числа  $\chi_{rot}(\varphi; \theta; \psi) =$   
 $E_{rot} = B\hat{J}(J+1)$   $= \frac{1}{2} I_{KM} >$

Биродомность каждого терма  $(2J+1)^2$

(2) 2 момента одинаковых  $\Rightarrow$  все три эти оси параллельны и  $\perp$  к оси гибели, т.е.  $\exists$  такой аксиальный момент, который и моменты относятся к трем одинаковым волнистым

a)  $I_{aa} < I_{BB} = I_{cc}$   $a > b = c$  биродомный вектор оси

$$\hat{I}_{rot} = A\hat{J}_a^2 + B(\hat{J}_B^2 + \hat{J}_c^2) = B\hat{J}^2 + (A-B)\hat{J}_a^2$$

\* Заметим, что на  $O_h$  имеется  $(abc) \rightarrow (bca)$  существование чисто-крайней изомерии

Причины же условия:  $[\hat{J}_a; \hat{I}_{rot}] = i(c-b)[\hat{J}_B \hat{J}_c - \hat{J}_c \hat{J}_B]$

$\downarrow$  3 кв. числа

$\chi_{rot}(\varphi; \theta; \psi) = \frac{1}{2} I_{KM}$  к-момент на ось Оа нек

$$E_{rot} = B\hat{J}(J+1) + (A-B)K^2$$

Крайность биродомные  $2(2J+1)$  при  $K \neq 0$   
 $\downarrow$   $(2J+1)$  при  $K = 0$

np:  $CH_3$   
 $CH_3Cl$

Способы  $K$  ЕТ

b)  $I_{aa} = I_{BB} < I_{cc}$   $a = b > c$  симметрия по С

$$\hat{I}_{rot} = B(\hat{J}_a^2 + \hat{J}_B^2) + C\hat{J}_c^2 = B\hat{J}^2 + (C-B)\hat{J}_c^2$$

$$E_{rot} \cdot \chi_{rot} = B\hat{J}^2 + (C-B)\hat{J}_c^2$$

$$E_{rot} = B\hat{J}(J+1) + (C-B)K^2$$

$K = ka$  ось Ос

np:  $CHCl_3$

$$\chi_{rot}(\varphi; \theta; \psi) = \frac{1}{2} I_{KM}$$

Причины биродомные  $2(2J+1)$   $K \neq 0$   
 $\downarrow$   $(2J+1)$   $K = 0$

$$J \uparrow \rightarrow E \uparrow$$

$K \uparrow \rightarrow E \downarrow$ , т.е.  $C-B$  отриц.

(3)  $I_{aa} \leq I_{BB} \leq I_{cc}$  Асимметричный вакуум.

$$I_{rot} = A \hat{J}_a^2 + B \hat{J}_B^2 + C \hat{J}_c^2$$

up: макс. в группе единиц.  
(если  $n > 2$ )  $C_n, C_{n+1}, \dots$   
 $C_1, C_2, S_n$

$$\chi_{rot}(\varphi, Q; \psi) = |JM\rangle$$

Степень асимметрии  $x_{\text{асим}}$  наименее асимметрии:  
 $k = \frac{2B - A - C}{A - C}$  (мин. от -1 до +1)

внешн. -1  
символ. +1

макс. асимметрия  $k=0$   $B = \frac{A+C}{2}$

Можно рассматривать как искаж. симметр. вакуум, либо  
формирующий единицу  $k \approx -1$   
 $(I_{BB} - I_{aa}) \gg (I_{cc} - I_{BB})$

антиасимметричный единица  $k \approx 1$

$$(I_{BB} - I_{aa}) \ll (I_{cc} - I_{BB})$$

Вариан. ядуара минимума  $E$ . Базис:  $|JM\rangle = \sum_{k=-1}^{+1} C_k |JkM\rangle$

(4) линейное движение, m.e. вращение вокруг оси свободно

$$I_{aa} = I_{BB} \quad I_{cc} = 0$$

вращение вокруг оси свободно

и симметрическое  $C = \infty$

$k=0$  e.g. возможна т.к. заменить 180° конечной

$$I_{rot} = B (\hat{J}_a^2 + \hat{J}_B^2)$$

$$I_{rot} = B \hat{J}^2$$

t.e. нет вращения

up:  
 $\text{CO}_2$   
 $\text{HCl}$   
 $\text{CH}_4 \equiv \text{CH}_2$

$$B \hat{J}^2 \chi_{rot} = E_{rot} \cdot \chi_{rot}$$

$$\chi_{rot}(\varphi; \Omega) = |JOM\rangle$$

т.е. имеем сферич. гармоники, завис. от  $\varphi$  и  $\Omega$

$$E_{rot} = BJ(J+1)$$

$$K_F \cdot \text{Бр.} = (2J+1)$$

$$\bar{I} = M^2$$

Лин. инерции

N14

Электрические и магнитные свойства молекул.  
Дипольный момент, изоэнергетические и изомолекулярные  
молекулы. Дип. мом. и симметрия. Гиперполярность  
молекул.

- Молекула в однородном поле
- если в ней поле однородно и гомогенное, то классич. энергия  
молекулы  $\epsilon$  может разложитьсь в ряд Тейлора по степеням напри-  
ятийности поля.

$$\epsilon = \epsilon|_{\bar{E}=0} + \sum_{\beta=x,y,z} \left( \frac{\partial \epsilon}{\partial E_\beta} \right)_{\bar{E}=0} E_\beta + \frac{1}{2} \sum_{\beta,\gamma=x,y,z} \left( \frac{\partial^2 \epsilon}{\partial E_\beta \partial E_\gamma} \right)_{\bar{E}=0} E_\beta E_\gamma + \dots$$

$\bar{E}$  - вектор напряженности

- $\epsilon|_{\bar{E}=0} = \epsilon^0$  - энергия молекулы при отс. поле
- $\left( \frac{\partial \epsilon}{\partial E_\beta} \right)_{\bar{E}=0} = d_\beta$  - компонента вектора электрического дипольно-го момента
- $\left( \frac{\partial^2 \epsilon}{\partial E_\beta \partial E_\gamma} \right)_{\bar{E}=0} = \alpha_{\beta\gamma}$  - компонента тензора гиперполярности молекулы

Т.о. выражение для энергии в электрич. поле:

$$\epsilon = \epsilon^0 - \sum_{\beta=x,y,z} d_\beta E_\beta - \frac{1}{2} \sum_{\beta,\gamma=x,y,z} E_\beta d_\gamma E_\gamma + \dots = \epsilon^0 - (\bar{d}, \bar{E}) - \frac{1}{2} \bar{E}^T \bar{\alpha} \bar{E} + \dots$$

$\bar{d}$  - вектор электрич. дип. момента

$\bar{\alpha}$  - тензор напряженности

Выражение для энергии в магнитном поле:

$$\epsilon = \epsilon|_{\bar{H}=0} + \sum_{\beta=x,y,z} \left( \frac{\partial \epsilon}{\partial H_\beta} \right)_{\bar{H}=0} \mu_\beta + \frac{1}{2} \sum_{\beta,\gamma=x,y,z} \left( \frac{\partial^2 \epsilon}{\partial H_\beta \partial H_\gamma} \right)_{\bar{H}=0} \mu_\beta \mu_\gamma + \dots$$

$\bar{\mu}$  - вектор напряженности магнитного поля

- $\epsilon|_{\bar{H}=0} = \epsilon^0$  - энергия при отс. поле
- $\left( \frac{\partial \epsilon}{\partial H_\beta} \right)_{\bar{H}=0} = \chi_{\beta\gamma}$  - компонента тензора магнитной восприимчивости
- $\left( \frac{\partial^2 \epsilon}{\partial H_\beta \partial H_\gamma} \right)_{\bar{H}=0} = \mu_\beta$  - компонента вектора магнитного дипольного момента

Т.о. энергия в магнитном поле:

$$\epsilon = \epsilon^0 - (\mu; \bar{H}) - \frac{1}{2} \bar{H}^T \chi \bar{H} + \dots$$

Тензоры могут могут быть приведены к виду:

$$\bar{d} = \begin{pmatrix} d_{xx} & 0 & 0 \\ 0 & d_{yy} & 0 \\ 0 & 0 & d_{zz} \end{pmatrix}$$

$$\chi = \begin{pmatrix} \chi_{xx} & 0 & 0 \\ 0 & \chi_{yy} & 0 \\ 0 & 0 & \chi_{zz} \end{pmatrix}$$

При этом скажем

Бесконечн. среднее значение  $\bar{d} = \frac{1}{3} (\alpha_{xx} + \alpha_{yy} + \alpha_{zz})$

среднее значение  $\bar{x} = \frac{1}{3} (x_{xx} + x_{yy} + x_{zz})$

среднее боенримичество

### Динамичные моменты

1. В пост. электрическом поле  
 гауссов векторный потенциал  $\varphi(\tau_k) = -(\mathbf{E}, \tau_k)$   
 явл. Максвелла  $\operatorname{rot} \mathbf{E} = 0$   $\operatorname{div} \mathbf{D} = \frac{4\pi\rho}{c}$   
 закон Фар-дау  $\mathbf{H} = \sum_k \frac{\rho \kappa^2}{2m_k} - \sum_k g_k (\mathbf{E}, \tau_k) + \mathbf{v}$

$$\text{т.е. } \frac{\partial \mathbf{E}}{\partial t} = 0$$

$$\mathbf{E} = -\operatorname{grad} \varphi$$

$$\boxed{d = \sum_k g_k \tau_k}$$

стационарная характеристика  
 (нормальное распределение зарядов)

2. В пост. однородном магн. поле  $\mathbf{H} = \operatorname{rot} \mathbf{A}$

$$\operatorname{rot} \mathbf{H} = \frac{4\pi}{c} \mathbf{j}$$

$$\operatorname{div} \mathbf{H} = 0$$

$\mathbf{j}$  - вектор момента эл. поле  
 $\rho$  - объемная  $\rho$  заряда

$$\mathbf{A}(\tau_k) = \frac{1}{2} [\tau_k \times \mathbf{H}]$$

$$\boxed{\mu = \sum_k \frac{g_k}{2m_k c} L_k},$$

$A(x, t)$  - векторная характеристика потенциала  
 $\varphi(x, t)$  - скалярная характеристика потенциала

$L_k$  - момент импульса частицы

динамика заряженного ядра-ионного макромолекул

- Оба дин. момента инвариантны относительно преобразования симметрии  $\Rightarrow$  их компоненты (проекции на оси) должны преобразоваться по линейному представлению трансформации групповых моментов

Компоненты вектора эл. дин. мом. должны быть симметричными и не зависят от вращения. Компоненты же векторов  $L_k$  определяются вращением вокруг оси  $\tau_k$  и вращением оси  $\tau_k$ .  $\Rightarrow$  симметричные компоненты  $\mu$  не меняются при вращении. операции симметрии

Т.е. вектор не меняется при вращении. Если в например две стационарные  $d$  это оно вращено. Если в магн. есть число симметрий или  $n$ , то вектор момента  $\tau_k$  делится на  $n$ ; неск. эл. симметрического момента  $\tau_k$  есть только одна общая торка или на пересечении; если есть только одна общая торка или  $n$  симметрий - вектор (неподвижный макромолекул)  $\text{C}_2\text{H}_4$ ,  $\text{CH}_4$ ,  $\text{CO}_2$

Макромолекулярный момент есть  $\gamma$  вех.

N15 Магнитная в магнитном поле. Магнитный момент магнита. Сумма элементарных частей. Обратимые и спиновые составляющие магнитного момента

$$\hat{H} = - \sum_k \frac{\hbar^2}{2m_k} \nabla_k^2 + V - i\hbar \sum_k \frac{q_k(\nabla_k, [\tau_k \times H])}{2m_k \cdot c} + \sum_k \frac{q_k^2 [\tau_k \times H]^2}{8m_k c^2}$$

воздействие, включающее линейную и квадратичную по напряжённости пропорциональную компоненты:

$$\hat{H}' = i\hbar \sum_k \frac{q_k(\nabla_k, [\tau_k \times H])}{2m_k c} = \left( H, \sum_k \frac{q_k [-i\hbar \nabla_k \times \tau_k]}{2m_k c} \right) = - (H; \sum_k \frac{q_k L_k}{2m_k c})$$

$$\hat{H}'' = \sum_k \frac{q_k^2 [\tau_k \times H]^2}{8m_k c^2}$$

$L_k$  - оператор орбит. момента кол-ва движения

линейную по напряжённости называют поправку к энергии свободного электрона в первом порядке теории воздушного звука. Остальные (первые) составляющие воздушного звука

$$E_n^{(1)} = \langle \Psi_n | \hat{H}' | \Psi_n \rangle = \left( H, \langle \Psi_n | - \sum_k \frac{q_k L_k}{2m_k c} \rangle \Psi_n \right)$$

Она gibi пропорциональна среднему значению магнитного дипольного момента магнитов в состоянии  $\Psi_n$

$$\mu_{L_n} = \langle \Psi_n | \sum_k \frac{q_k L_k}{2m_k c} | \Psi_n \rangle$$

$$\hat{\mu}_L = \sum_k \frac{q_k L_k}{2m_k c}$$

оператор дипольного момента орбитальной магнитной составляющей

$$(затем \mu = \sum_k \frac{q_k}{2m_k c} L_k \text{ квантование операторами})$$

$L$ - подчёркивается, что речь идет об орбитальной составляющей.

( $\mu_L$ )

В реалистической теории есть еще собственный момент количества движения - есть  $\sum_k \frac{q_k(\hat{H}, \hat{S}_k)}{2m_k c}$  состояний присутствуют также

10-ому кроме

$$\sum_k \frac{q_k(\hat{H}, \hat{S}_k)}{2m_k c} q_k$$

$$\hat{S}_k - \text{оператор спина}$$

( $\frac{1}{2} \vec{S}$  - спин  $e^-$  - опора)

$q$  -  $q$ -фактор определен природой соотв. частиц и зависит от времени. параллельном ( $q_{e^-} e^- = 2$ ,  $H' = 5,58$ )

$$\mu_{S_n} = \langle \Psi_n | \sum_k q_k \frac{q_k \hat{S}_k}{2m_k c} | \Psi_n \rangle$$

в магнитной момент

$$\hat{\mu}_S = \sum_k q_k \frac{q_k \hat{S}_k}{2m_k c}$$

оператор спиновой компоненты магнитного момента

Оператор наименьшего линейного

$$\hat{u} = \hat{u}_L + \hat{u}_S = \sum_{k=1}^N \frac{g_k}{\lambda_k m_k c} (L_k + g_k S_k)$$

$$\left[ \frac{\partial \hat{u}}{\partial x} \right]_{\text{exp}} \geq \left( \left[ \frac{\partial L}{\partial x} \right]_{\text{exp}} \right)_{\text{exp}} \geq \lambda - V + \frac{1}{m} \sum_{k=1}^N \frac{g_k^2}{\lambda_k} \geq \lambda - V + \frac{1}{m} N$$

и оценка наименьшего линейного оператора, имеющего наименьшую квадратичную ошибку.

$$\left( \frac{\partial \hat{u}}{\partial x} \right)_{\text{exp}} \geq \lambda - \left( \left( \frac{\partial L}{\partial x} \right)_{\text{exp}} \right)_{\text{exp}} = \left( \left[ \frac{\partial L}{\partial x} \right]_{\text{exp}} \right)_{\text{exp}} \geq \lambda - \frac{1}{m} N$$

Здесь мы доказали, что наименьшее линейное приближение наименьшее из всех линейных приближений, имеющих наименьшую квадратичную ошибку.

$$\langle \psi | \left( \frac{\partial \hat{u}}{\partial x} \right)_{\text{exp}} - | \psi \rangle_{\text{H}} \rangle = \langle \psi | \left( \hat{u} \right)_{\text{exp}} - | \psi \rangle_{\text{H}} \rangle$$

доказано, что наименьшее линейное приближение имеет наименьшую квадратичную ошибку.

$$\langle \psi | \frac{\partial \hat{u}}{\partial x} \rangle_{\text{exp}} \leq \langle \psi | \hat{u} \rangle_{\text{exp}} = \langle \psi | u \rangle$$

доказано, что наименьшее линейное приближение имеет наименьшую квадратичную ошибку.

$$\left| \frac{\partial \hat{u}}{\partial x} \right|_{\text{exp}} = \hat{u}$$

(наименьшее линейное приближение имеет наименьшую квадратичную ошибку)

доказано, что наименьшее линейное приближение имеет наименьшую квадратичную ошибку.

$$\langle \psi | \hat{u} \rangle_{\text{exp}} \leq \langle \psi | u \rangle$$

доказано, что наименьшее линейное приближение имеет наименьшую квадратичную ошибку.

$$\left| \hat{u} \right|_{\text{exp}} = \hat{u}$$

$$(x_1, x_2, \dots, x_N, \hat{u})$$

$$\langle \psi | \frac{\partial \hat{u}}{\partial x} \rangle_{\text{exp}} \leq \langle \psi | u \rangle$$

доказано, что наименьшее линейное приближение имеет наименьшую квадратичную ошибку.

$$\left| \frac{\partial \hat{u}}{\partial x} \right|_{\text{exp}} = \hat{u}$$

# Электронно-квантовое взаимодействие.

## Эфрактм Ян-Тейлера

Ранее ведёе решение задавало не выходило за рамки одномерного приближения, т.е. это предполагало, что изменение ядерного состояния можно не учитывать ввиду наименьшего подсчета, а оставалось то же ППЭ. В электронном гамильтонии все лог. коорд. были фиксированы:

$$\hat{H}_e^0 = -\frac{1}{2} \sum_{i=1}^k \nabla_i^2 + \frac{1}{2} \sum_{d \neq \beta} \frac{Z_d Z_\beta}{R_{d\beta}} + \frac{1}{2} \sum_{i+j=k} \frac{1}{r_{ij}} - \sum_{d=1}^k \sum_{j=1}^{2d} \frac{2d}{R_{dj}}$$

индекс 0 - постоянные лог. координат.

В действительности, характер ППЭ зависит от колебательно-вращательного под. момента и измоделируется эфрактом с весьма существенным

### • Эфракт Ян-Тейлера

Суть: неустойчивость высокосимметричных конформальных состояний в вырожденных электронных состояниях

Задача - учёт влияние колебаний момента на её электронное состояние. Можно сделать по теории возмущений. Тогда можно от коорд. ядер не как от параметров, а как от переменных. Для задания лог. коорд. исп-ли норм. координаты  $\hat{H}_e = \hat{H}_e(Q)$  приём  $\hat{H}_e(Q=0) = \hat{H}_e^0$

Роль колебаний "основ. невесомка", и это может проявляться зерн.

б) по Тейлора в  $Q_j$  (  $j = 1 \dots 3k-6$  )

$$\hat{H}_e = \hat{H}_e^0 + \sum_{k=1}^{3k-6} \hat{V}_k Q_k + \frac{1}{2} \sum_{j,k=1}^{3k-6} \hat{W}_{jk} Q_j Q_k + \dots$$

где  $\hat{V}_k = \left( \frac{\partial \hat{H}_e}{\partial Q_k} \right)_{Q=0}$        $\hat{W}_{jk} = \left( \frac{\partial^2 \hat{H}_e}{\partial Q_j \partial Q_k} \right)_{Q=0}$

функции только зерн. переменных

каждое членное в  $\hat{H}_e$  полносимметрично (т.к. зерн. зерн. всегда инвариантен). Это устанавливается если  $Q_j$  (пом. коорд.) и  $V$  (предобр. но  $\perp$  предсдвиганию)

$$T(\hat{V}_j) = T(Q_j)$$

Направка к электронной энергии:

$$E_e^{(1)} = \langle \Phi_e | \sum_{k=1}^{3k-6} \hat{V}_k Q_k + \frac{1}{2} \sum_{j,k=1}^{3k-6} \hat{W}_{jk} Q_j Q_k | \Phi_e \rangle_z$$

в первом порядке теории возмущений

В общем случае она получается

## • Невиромоденное электронное состояние

$$E_e^{(1)} = \sum_{k=1}^{3n-6} \langle \Phi_e | \hat{V}_k | \Phi_e \rangle \gamma Q_k *$$

бесконечна оно, если в Г подынк. ф. есть неисп. частицы

$$\Gamma(\Phi_e) \otimes \Gamma(\hat{V}_j) \otimes \Gamma(\Phi_e) > A,$$

$\Phi_e$  описывает невир. зл. состояния, т.е. прикладывает одновременно первог. предст.

$$\Gamma(\Phi_e) \otimes \Gamma(\Phi_e) = A,$$

$$\Gamma(\hat{V}_j) = A_i$$

$$\Gamma(Q_j) = A_i$$

Значит интеграл в \* либо неприват, только если состоя. норм. коорд. преобраз. по представлению  $A_i$ , т.е. описывает неисп. перв. конф. Симметрии не изменяются. Т.е. при неизменении возбуждения моментум, наход. ся в невир. сост., и  $E$  и полный энтроний при деформации, не нарушающей симметрию состояния.

Инак., в невиромод. состоянии включаются конфигур. уст-в.

## • Вырожденное электронное состояние

$$\text{Анализируем систему } \sum_{i=1}^{\lambda} c_i U_i = E_e^{(1)} c_j \quad j = 1 \dots \lambda$$

$$U_i = \langle \Phi_e | \hat{V}' | \Phi_e \rangle - \text{матр. элемн. возбуждения}$$

$$\begin{vmatrix} U_{11} - E_e^{(1)} & \dots & U_{1\lambda} \\ U_{21} & \dots & U_{2\lambda} \\ \vdots & & \vdots \\ U_{\lambda 1} & \dots & U_{\lambda\lambda} - E_e^{(1)} \end{vmatrix} = 0$$

Это определяет возможные направления и энергии электронного состояния  $E_e^{(1)}$

или  $= 0$ , все суммы

В общем случае они неприват. Для того, чтобы это было возможно, а это суммы

$$U_{ij} = \sum_{k=1}^{3n-6} \langle \Phi_e | \hat{V}_k | \Phi_e \rangle \gamma Q_k$$

$\Gamma(\Phi_e) = \Gamma(\Phi_{e,j}) = \Gamma(\Phi_e)$  и  $\Gamma(\Phi_e) \otimes \Gamma(\Phi_e) = \Gamma^2(\Phi_e)$  - приводящее представление, всегда включающее неисп. первые представления  $A_1$  и еще какие-то одно- и много-мерные первог. представления. Таким образом, получим

Энергия момента может наступить в выр. состоянии не только при

исп. неисп. но и при асимметричных изменениях. [прир. предст. неисп.]

[Т.к. вырожденные неисп. преобраз. по этим представл.]

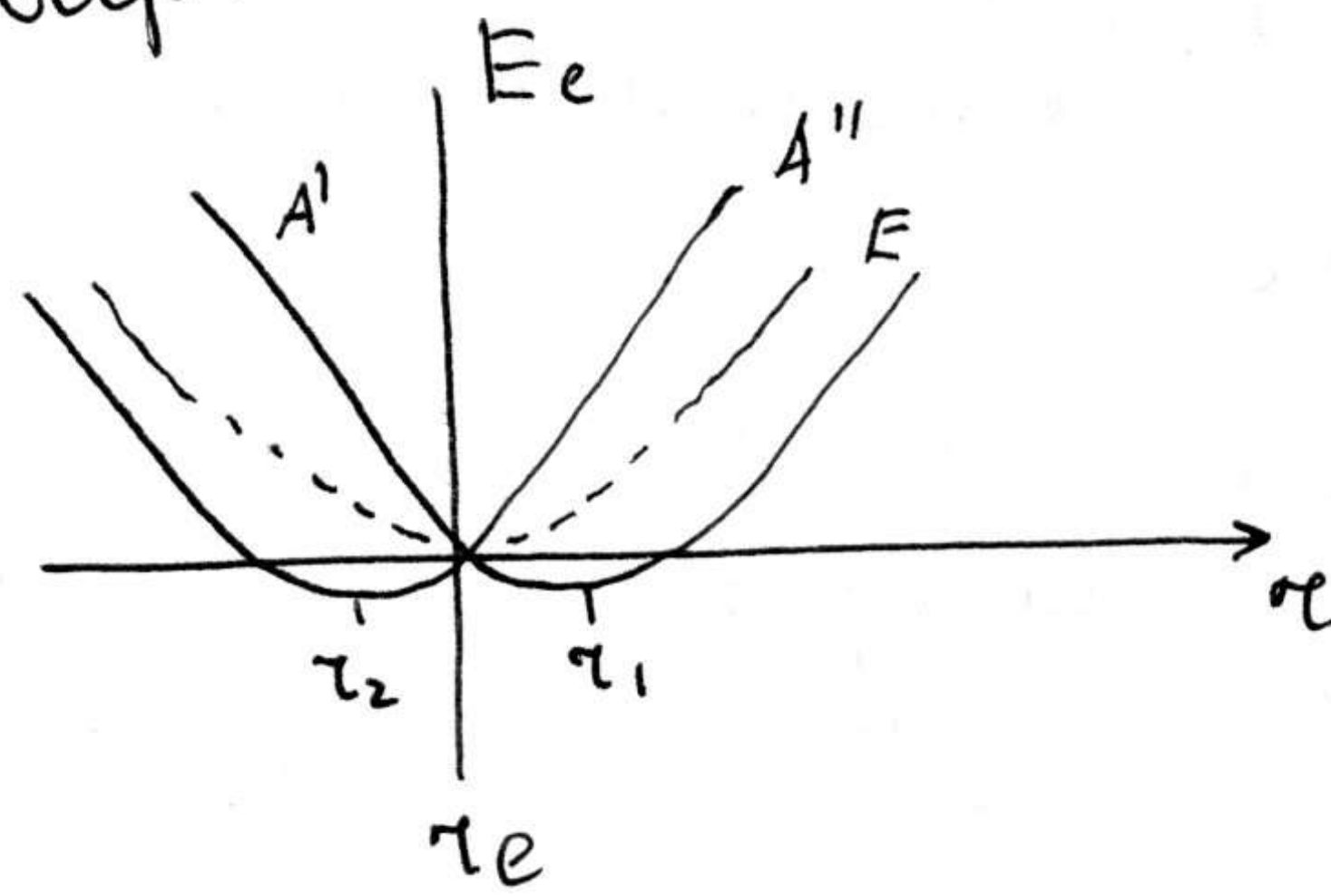
Если моментум  $\chi_3$  в некан. конфигурации имеет симметрию  $C_3$ , то все ее состояния г) классиф. по первог. предст.

Однако у групп  $C_3$  нет монометрических предст.

↓ Первог. предст.  $C_{3v}$  при переходе к  $C_3$  стан. первог.

№16

↓ вместо одною звукоизлучающим излучением звука имеется 2 звука, излучающие, которые отвечают 1 ППЭ и 2 ППЭ. Их состояния симметричны  $A'$  и  $A''$  с 2 ППЭ.



$r_1, r_2$  - узел. между конфигурациях

↓ Эффект Ди-Тейлера.

"В вырожденном электронном состоянии любое вычисление первичной конфигурации (нейтральной) изменяется неустойчиво. Всегда находится колебание, которое помимо энергии, называет конфигурацией"

Линия - Сингулярн.

Теорема Ди-Тейлера:

Если адекватное потенциал нейтральной молекулы систему вычислений, то в решении эл. ур. имеется несколько пересекающихся, то в токах  $\mathbf{J}$  всегда находится такие ядерные изменения, для которых производные пот. энергии по коорд. в токах  $\mathbf{J}$  отличны от 0 и зицкий  $E$  не имеет min.

Есть яд. конфи.  $Q_0$ ; нуб-ни зицк. ест.  $\Psi_0, \Psi_1, \dots$

ес. значение  $E_0, \dots, E_k, \dots$ .  
Как изменяются  $E$  и  $\Psi$  при небольшом изменении из  $Q_0$  в  $Q_i$ ? В общем случае  $Q_0$  не обладает min, но-жиму вводим и мин. знач из  $Q_i$ ; раскн. в пред Тейлора

$$E(Q_i) = E_0 + \left(\frac{\partial E}{\partial Q_i}\right)_0 Q_i + \frac{1}{2} \left(\frac{\partial^2 E}{\partial Q_i^2}\right)_0 Q_i^2 + \dots$$

$$H(Q_i) = H_0 + \left(\frac{\partial H}{\partial Q_i}\right)_0 Q_i + \dots$$

По теории вращения получаем:

$$E(Q_i) = E_0 + Q_i \int \Psi_0 \left(\frac{\partial \Psi}{\partial Q_i}\right)_0 \Psi_0 d\tau + Q_i^2 \left\{ \frac{1}{2} \int \Psi_0 \left(\frac{\partial^2 \Psi}{\partial Q_i^2}\right)_0 \Psi_0 d\tau + \sum_{m=1}^n \left[ \int \Psi_0 \left(\frac{\partial \Psi}{\partial Q_i}\right)_0 \Psi_m d\tau \right]^2 \right\}$$

и в порядке коррекции

поправка в первом (хар-ст. потен.  $E$  при потен. конфи., но с исп. симб.  $Q_0$  зицк. потен.  $\Psi_0^2$ )

$< 0$ , то нуб.

$$\Psi_0(Q_i) = \Psi_0 + \sum_{m=1}^n \frac{\int \Psi_0 \left(\frac{\partial \Psi}{\partial Q_i}\right)_0 \Psi_m d\tau}{E_0 - E_m}$$

Можно показать, что  $\int \psi_0 \left( \frac{\partial u}{\partial Q_i} \right)_0 \psi_0 d\tilde{v}$  не равен нулю  
только в 2 случаях:

- $\psi_0$  и  $\frac{\partial u}{\partial Q_i}$  гр. сим. типа A,B ;  $\frac{\partial u}{\partial Q_i}$ : предр. но  
также не предр., что и  $Q_i$ .  $\rightarrow$  ненул. тока на сфере ГПЭ
- $\psi_0$  орбитальная вырождения ( $Q_i$  или  $D_{ik}$ )  
 $Q_i$  симметрично а, что обладает симметрией,  
обеспечивающей симметрию  $\psi_0$ .

Теперь докажем, что для любой симметрии в вол. эл. соч.  
в линейной симметричной мдели  $\frac{\partial u}{\partial Q_i}$  конформирующим  $Q_i$   
всегда существует такие деформации  $Q_i$  для которых  
интервал  $\int \psi_0 \left( \frac{\partial u}{\partial Q_i} \right)_0 \psi_0 d\tilde{v} \neq 0$

Преобразование  
в линейных  
орбитах  
обусловлено

эпифронтальную форму для высокой симметрии. симметрии  
линейки. запоминающие связывающих или нес.  
(напр. - коорд. соединения, где высокие симметрии  
коорд. позиций)

N 17 Испускание, поглощение и рассеяние излучения.

Матричные элементы операторов перехода.

Дипольное приближение. Правила отбора.

Вероятности переходов в машинно-рекурсивных методах.

### 1. Правила отбора

Многократные квантовые переходы между  $\pi$  одних энергетич. состояний в другие возможны не для всех, а только для вполне определенных состояний на  $\pi$  уровнях.

Правила отбора зависят от: 1) свойств симметрии винтовых группировок состояний, между которыми происходит переход 2) оператора перехода (электрическое или магнитное dipole и квадрупольное моменты перехода, одно- или - двухквантовых переходов) и его симметрии.

Переход считается разрешенным по симметрии, если отнесен к одному  $\pi$  состоянию  $\pi$  один из штрафов

$$R_{xyz}^{mn} = \int \Psi_m^* \tilde{M}_{xyz} \Psi_n dV$$

$\Psi_m^*$  - комплексно-сопряж. винтовая группировка возбужд. состояния  $m$

$\Psi_n$  - вин. ф. основного состояния

$\tilde{M}_x, \tilde{M}_y, \tilde{M}_z$  - операторы проекций вектора момента на оси ( $\pi$  ген. зерн. дип. мом  $\mu$ )

$R_x^{mn}, R_y^{mn}, R_z^{mn}$  - матричные элементы момента перехода

$R^{mn}$  - момент перехода

$$|R^{mn}|^2 = |R_x^{mn}|^2 + |R_y^{mn}|^2 + |R_z^{mn}|^2$$

н.в. числ. определяющих состояние П.О. связанные с разрешенными  $\pi$ . Эпилльных переходов, т.е. они у. един. состояния.

2) Для одноквантовых эл. дипольных переходов, т.е. они у. един. состояния и испускания

- брандильные переходы

- ИК и микроволн. спектр поглощения только для парных ядер

$$\Delta J = J' - J'' = \pm 1$$

- КР все  $2x$  ат. ядра, но значение  $J$  у парных и  $\neq 0$

$$\Delta J = J' - J'' = 0, \pm 2$$

- калбатильные - брандильные переходы

- ИК поглощение и испускание только парные ядра  $\Rightarrow$  дон. пр. от.

$$\Delta J = J' - J'' = \pm 1 \text{ строится } \Delta J \text{ вер-ть пер. спектра} \rightarrow \text{доп. пр. от.}$$

- (доп. правила связи с разрешенными вер-тии кол. переходов  $\Delta J = J' - J'' = 0$  при  $J'' = 0$  или находит на пр. от  $J'$  и  $J'' \pm 1$ )

- КР может быть парным, т.к.  $(\partial J / \partial g) \neq 0$ , но это - это для парных ядер и  $\neq 0$

$$\Delta J = J' - J'' = 0, \pm 2$$

- электронные - кон-Бр.

- для всех ядер

$$\Delta J = J' - J'' = 0, \pm 1$$

$$\Delta J = 0, \pm 1$$

$\Sigma$	$0, 1, 2 \dots$	$s p d \dots$
$\Sigma$	$\sum \prod \Delta \dots$	
$S, \Sigma$	$\frac{1}{2}; \frac{3}{2}; \frac{5}{2} \dots$	
	или $1, 2 \dots$	

Рассмотрим  $\Delta$ -переходы из состояния по кв. числу  $\Lambda$  - проекции на квантифицируемую величину суперпозиции орбит. момента кол-ва движения  $L$ , так и по кв. числу суперпозиции спина  $S$  и его проекции  $\Sigma$ .

$$\Delta \Lambda = 0, \pm 1$$

$$\Delta S = 0$$

$$\Delta J = J' - J'' = 0, \pm 1$$

(с учетом  $\Delta \Sigma$  опред. пр. Франка-Кондорса)

также для мом. будут отмечены и ненулевые моменты при сдвиге кроме пр.  $\Sigma - \Sigma$

$$\Delta J = \pm 1.$$

5) ПО дли гиперфундаментальных зл. дин. переходов, т.е. дли спектральных кв-переходов между резонансами с теми же самыми поведением дин. моментов, наведенного зелено-красного цвета волна возбуждения. Величина наследует определение направляемостью момента  $\lambda$  и направляемостью волны  $E$

$$\bar{\mu} = \lambda \bar{E}$$

но направление векторов не всегда совпадает  $\Rightarrow$  учитывается 3 компоненты

$$\begin{aligned}\bar{\mu}_x &= d_{xx} \bar{E}_x + d_{xy} \bar{E}_y + d_{xz} \bar{E}_z \\ \bar{\mu}_y &= d_{yx} \bar{E}_x + d_{yy} \bar{E}_y + d_{yz} \bar{E}_z \\ M_z &= d_{zx} \bar{E}_x + d_{zy} \bar{E}_y + d_{zz} \bar{E}_z\end{aligned}$$

$\Rightarrow$  9 компонент  $d_{ij}$  соответствующих трех направляемостей; 6 из них парно равны

$$d_{ij} = d_{ji}$$

ПО определению

$$R_{xyz}^{mn} = \int \psi_m^* \hat{d}_{ij} \psi_n dV, \text{ где } \hat{d}_{ij} - \text{оператор направляемости}$$

кв-спектр опред-ся направляемостью  $\Rightarrow$  есть у ненул. моментов - дли чисто красной.  $\Delta J = J'' - J' = 0, \pm 2$   
- ком-бр  $\Delta J = 0; \pm 2$   
(переходы в различных  $\Delta \Sigma$  сильно отлич. ;  $\Delta \Sigma = \pm 2$  уже не набл.)  
- Электронные переходы (в прис. с редкозем. элем.)

! Рассмотренные правила справедливы. Но при недавних изм.  $\int$  переходов будут мало вероятны  $\Rightarrow$  матр. элементов перв. определением не только ПО, но и интенсивность изменит.

# N17 Воздушное состояние и линии понимания

Ранее предполагалось, что наше понимание окружающей среды определяется действием одиночного и многофакторного процессов. Переходные к нему гипотетические модели, использующие идеи омической теории воздушных потоков (т.н. вероятностная модель невесомости)

Допущение: воздушное состояние состояния можно записать  $\Psi_n$  и неизменное от него  $\Psi_n^0$

$$\Psi_n = \Psi_n^0 + \Delta$$

наше видение наше состояние становится видеть стационарным (пренебрежение теми причинами -либо другими), т.к.

$$\Delta = \sum_{k \neq n} C_{nk}(t) \Psi_k^{(0)}$$

в воздушном состоянии находящийся в нем как для "стационар" резул. стаци. состояния.

- В момент открытия наше понимание "выбирает" одно из них с вероятностью, определяемой весом этого состояния в возд. состоянии. (Это и есть идеология т. возд.)

$$W_{nk}^{(1)}(\tau) = |C_{nk}^{(1)}(\tau)|^2 = \frac{1}{\hbar^2} \left| \int_0^\tau \langle \Psi_k^0 | \hat{u}'(t) | \Psi_n^0 \rangle dt \right|^2$$

когда в первом порядке т. возд. процесс замкнут, т.е.

без.  $W = 0$  требуется 2 порядок

$$W_{nk}^{(2)}(\tau) = |C_{nk}^{(2)}(\tau)|^2 = \frac{1}{\hbar^2} \left| \int_0^\tau \sum_{m \neq n} C_{nm}^{(2)}(t) \langle \Psi_k^0 | \hat{u}'(t) | \Psi_m^0 \rangle dt \right|^2$$

т.е. матричный элемент

определен бывш. предыдущим переходом из состояния  $\Psi_n$  в  $\Psi_k$

- Возможны и "оканчивающие пути". Т.е. сумма по всем состояниям  $\Psi_m^{(0)}$ , открытым и от  $n$  и от  $k$  и есть вариант, учитываемый все такие пути

$$\sum_{m \neq n} C_{nm}^{(1)}(t) \langle \Psi_k^{(0)} | \hat{u}'(t) | \Psi_m^{(0)} \rangle$$

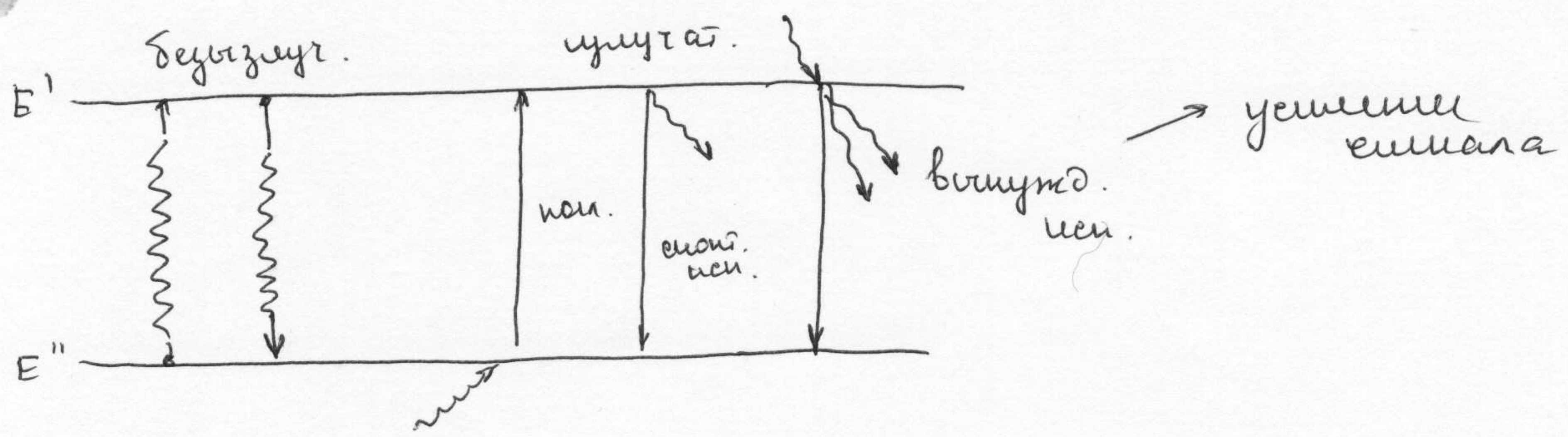
$\Psi_m^{(0)}$  - вырожденные стаци. состояния

- Процессы переходов и/б: 1) одиночные  $\rightarrow$  понимание кванта определ.  $\lambda$ ; и/б: 2) неупакованное (без понимания), так и идущие провалившиеся

- 2) многофакторные -  $n$ -факторные

и  $m$  рождаются,  $(n-m)$  уничтожаются (процесс эти не делит се во времени). Осуществляются благодаря наличию вырожденных уровней. Могущая не успевший покинуть вновь идущий фрагментироваться.

N17



### Излучение

молекула переходит в возб. состояние, если переходы обратно на осн. уровень 2 путями:

1. естественным (спонтанно)  $10^{-6} - 10^{-9} \text{ с}$   $\rightarrow$  излучение
2. вынужденно, под действием излучения той же энергии или излучения  $\rightarrow$  усиление

### Поглощение

Переход в возб. состояние  $\rightarrow$  отрыв в основное состояние

### Рассеяние

- КР энергия излучения  $<$  энергии  $\rightarrow$  спонтанное возбуждение
- Резонансное рассеяние